

## پترولوزی و ژئوشیمی سنگ‌های آتشفشارانی ائوسن در باختر سه‌چنگی، بلوک لوت

مرتضی خلعت‌بری جعفری\*، زینت کیلانی جعفری ثانی، سید جعفر عمرانی؛  
پژوهشکده علوم زمین، سازمان زمین‌شناسی و اکتشافات معدنی کشور

دریافت ۹۶/۱۱/۰۳ پذیرش ۹۷/۰۴/۲۵

### چکیده

سنگ‌های آتشفشارانی ائوسن رخمنون یافته در باختر سه‌چنگی، بلوک لوت، در بردارنده ته نهشته‌های پیروکلاستیک و گدازه‌ای است. سنگ‌های آتشفشارانی منطقه بررسی شده دارای ترکیب بازالت، آندزیت بازالتی آندزیت، آندزیت-تراکی-آندزیت، تراکی‌داسیت، داسیت و ریولیت-ایگنمبریت هستند. بر اساس بررسی‌های صحرایی، سنگ‌های آتشفشارانی در چهار مرحله و در محیط زیرآبی تا خشکی فوران کردند. واحدهای آتشفشارانی در منطقه بررسی شده، به صورت تنایی از سنگ‌های اسیدی و بازیک-حدواسط رخمنون یافته‌اند که شبیه ولکانیسم دوغانه است. در پژوهش‌های پتروگرافی، سنگ‌های اسیدی دارای میکروآنکلاوهای پیروکلسنیت هستند که شاید از گوشته لیتوسفری زیر قاره بالا آمدند. در نمودارهای تمايز ماگمایی، گدازه‌ها روندهای ماگمایی شوشوئیتی و کالکالکان پتابسیم بالا را نشان می‌دهند. الگوهای نمودارهای عنصر خاکی و نمودارهای عنکبوتی به هنجار شده، غنی‌شدگی از LILE و HFSE در مقایسه با عناصر HFSE را نشان می‌دهند که قابل مقایسه با مناطق فورانی هستند. در نمودارهای تکتونوماگمایی آن‌ها در قلمروی حاشیه قاره تجمع یافته‌اند. تفسیر نمودارهای ژئوشیمیابی نشان می‌دهند که گدازه‌های بازیک-حدواسط از ذوب‌بخشی گوشته لیتوسفری حاصل شده‌اند که قبلاً به وسیله مؤلفه‌های فورانی (سیالات-مذاب) غنی شده‌اند و نمی‌توان تأثیر آن‌ها را از ترکیبات پوسته‌ای تفکیک کرد. سنگ‌های اسیدی دارای عناصری شبیه به پوسته هستند که دلالت بر ذوب‌بخشی پوسته در تشکیل ماگمای اسیدی دارد. به نظر می‌رسد که بعد از بسته شدن نشوتنیس در کرتاسه بالایی و ضخیم شدن لیتوسفر قاره‌ای در بلوک لوت، سنگ‌های آتشفشارانی ائوسن باختر سه‌چنگی در یک محیط بازشده‌گی مربوط به برخورد تشکیل شده‌اند.

واژه‌های کلیدی: آندزیت، ریولیت، فورانی، شوشوئیت، گوشته، پوسته.

### مقدمه

منطقه بررسی شده در بلوک لوت، استان خراسان جنوبی و در باختر معدن سه‌چنگی واقع است (شکل ۱). این منطقه در بین طول‌های جغرافیایی  $۳۰^{\circ} - ۵۷^{\circ}$  و  $۴۰^{\circ} - ۵۸^{\circ}$  خاوری و عرض‌های جغرافیایی  $۳۰^{\circ} - ۳۲^{\circ}$  و  $۴۵^{\circ} - ۴۵^{\circ}$  شمالی جای دارد. بلوک لوت، ناحیه‌ای در خاور ایران است که بین دو گسل نهبندان در خاور و نای‌بندان در باختر واقع شده است [۱]. این گسل‌ها دارای امتداد شمالی-جنوبی است و عملکرد غالب در آن‌ها راست‌گرد بوده است. زون جوش‌خورده سیستان در خاور بلوک لوت و رشته کوه‌های شتری در باختر آن بروند دارند. بخش شمالی بلوک لوت با گسل درونه و پهنه‌های نمکی و بخش جنوبی آن به وسیله کمان مکران (شامل مجموعه آتشفشارانی بزمان و گودال جازموزیان) احاطه شده است [۲، [۳]].

طی پالئوزوئیک، ناحیه لوت همراه با سایر بخش‌های ایران مرکزی شرایط پلاتفرمی داشته‌اند اما طی مژوزوئیک و ترشیری این پلاتفرم در جهات مختلف شکسته شده و به شکل موزائیک‌هایی درآمدند [۴]. به‌نظر می‌رسد که هم‌زمان با بسته شدن پالئوتیس و بازشدگی نئوتیس در مژوزوئیک [۵]، [۶]، [۷] بلوک لوت همراه با سایر بخش‌های قاره‌ای منفصل مانند سنندج-سیرجان، البرز و ایران مرکزی به اورازیا متصل شدند [۸]، [۹]، [۱۰]. طی پرمین بالایی و سپس مژوزوئیک، شاخه‌های نئوتیس در امتداد زون‌های ساختاری اصلی ایران از جمله در خاور ایران (اقیانوس سیستان) شکل گرفتند. فرایند فرورانش سبب بسته شدن نئوتیس در خاور ایران و متعاقب آن ایجاد زون جوش‌خوردگی بین خاور ایران و بلوک افغان طی کرتاسه-ترشیری شده است [۱۱]، [۱۲]، [۱۳]، [۱۴].

در رابطه با پیشینه تحقیقاتی در بلوک لوت می‌توان به مهربانی و همکاران [۱۵]، اشاره کرد که توده گرانیتی سرخ-کوه در جنوب باختری خوفس واقع در شمال لوت را به عنوان قدیمی‌ترین فعالیت زمین‌ساختی-ماگمایی در خاور ایران دانسته‌اند. به باور کریم‌پور و همکاران [۲۱]، فعالیت‌های ماگمایی در بلوک لوت از ژوراسیک میانی آغاز شد که حاصل آن توده‌های گرانیت‌ویکی مانند توده گرانیت‌ویکی شاهکوه [۱۶] بوده است. به عقیده کریم‌پور و همکاران [۲۲] و پانگ و همکاران [۱۷]، فعالیت‌های ماگمایی در بلوک لوت طی کرتاسه بالایی ادامه یافت ولی در ایوسن و الیگوسن به اوج خود رسید که با کانی‌زایی همراه بوده‌اند. توده‌های نفوذی نیز با سن‌های متفاوت کرتاسه بالایی [۲۳]، ایوسن [۱۸] و الیگوسن [۱۹] در جای جای بلوک لوت گزارش شدند اما توده‌های گرانیت‌ویکی جوان‌تر از الیگوسن در بلوک لوت دیده نشدند [۲۰]. در نئوژن گدازه‌های با ترکیب الکالی بازالت در خاور گسل نه و در امتداد گسل نای‌بندان فوران نمودند [۲۱]. در اطراف منطقه بررسی شده در این مقاله نیز ولکانیسم نئوژن به صورتی گسترده در ناحیه رباط خوشاب [۲۲] و نای‌بندان [۲۳] گزارش شدند. گدازه‌های آتش‌شکانی کواترنری را می‌توان در امتداد گسل نای‌بندان [۲۴]، [۲۵] و در محدوده تخت نادر در شمال منطقه بررسی شده یافت.

در اکثر مدل‌های ژئودینامیکی مربوط به خاور ایران به حاشیه خاوری بلوک لوت و رخمنون‌های افیولیتی نیز پرداخته شده است. به عبارتی دیگر در تحولات ژئودینامیکی خاور ایران به بلوک لوت نیز اندیشه شده. در مدل ژئودینامیکی کمپ و گریفیس [۱۱] ابتدا بازشدگی اقیانوسی نئوتیس و سپس فرورانش آن و تشکیل گودال، برخورد قاره‌ای و فعالیت‌های ماگمایی در زون جوش‌خوردگی سیستان (در هم‌بری بین بلوک‌های لوت و افغان) مورد نظر قرار گرفت. به باور کمپ و گریفیس [۱۱]، بازشدگی بزرگ قاره‌ای بین بلوک‌های لوت و افغان در کرتاسه میانی سبب ایجاد حوضه‌ای رسوبی فلیشی شده است. از مائبتریشتن فرورانش پوسته اقیانوسی به زیر بلوک افغان آغاز و تا ایوسن میانی ادامه یافت. با ادامه هم‌گرایی و برخورد بین بلوک‌های لوت و افغان، چین‌خوردگی‌ها گسترش یافته و گسل‌ش امتداد‌لغز طی الیگوسن و میوسن روی داده است. حرکات امتداد‌لغز و راستالغز نیز در امتداد گسل‌های قدیمی طی میوسن پایانی-کواترنری ادامه یافت. به باور کمپ و گریفیس [۱۱] سنگ‌های آتش‌شکانی این ناحیه از نظر پتروگرافی و ژئوشیمیایی با سنگ‌های آتش‌شکانی ارومیه-دختر و البرز متفاوتند و حاصل فعالیت‌های آتش‌شکانی کرتاسه-پالئوسن، ایوسن-الیگوسن، الیگومیوسن و نئوژن هستند.

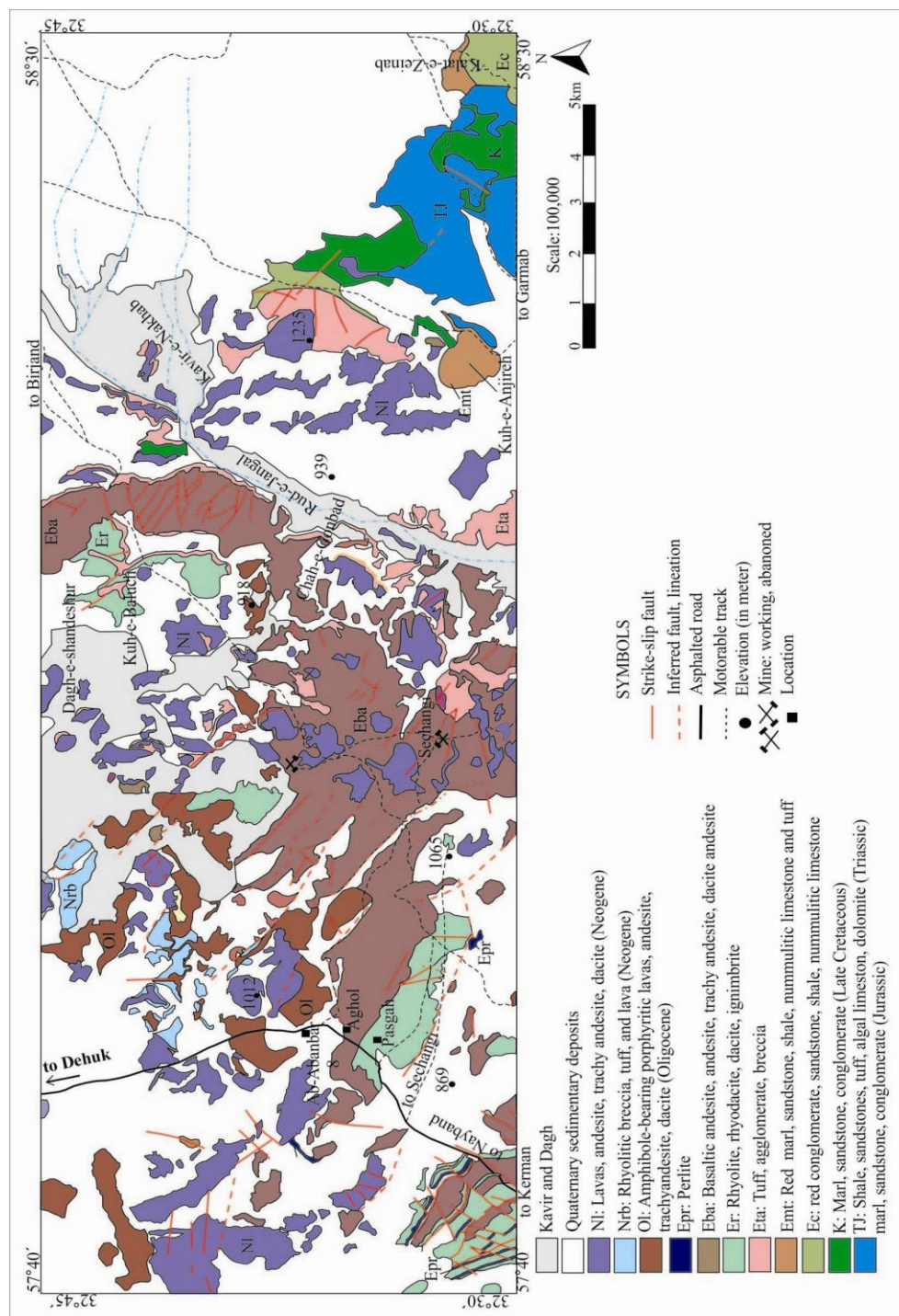
تیروول و همکاران [۱۲]، زون جوش‌خوردگی سیستان در خاور ایران را جز کمربند کوه‌زایی و برخوردی آلپ-هیمالیا دانستند که طی دوره زمانی کرتاسه-ترشیری شکل گرفته است. بر اساس بررسی‌های ترموبارومتری فتوحی راد

و همکاران [۲۴]، عدسی‌های اکلوزیت در زون سوچور از لیتوسفر فرورو و از اعماق مختلف جدا شده‌اند. به باور ساکانی و همکاران [۲۵]، مجموعه افیولیتی نهیندان واقع در زون جوش‌خورده سیستان، مرز بین بلوک‌های قاره‌ای لوت و افغان هستند و سنگ‌های اولترامافیک و مافیک آن ویژگی سوبراسابدکشن را نشان می‌دهند. در مدل آن‌ها، این پوسته اقیانوسی با شبیه رو به خاور به زیر بلوک افغان طی کرتاسه-الیگوسن دچار فرورانش شده است.

ارجمندزاده و همکاران [۱۹]، با بررسی توده‌های پلوتونیک و سنگ‌های آتشفشاری محدوده چاه شلجمی در جنوب بیرون‌جند، آن‌ها را نتیجه فرورانش به زیر بلوک لوت طی ترشیری دانستند. آنان فرورانش دوسویه را مدل ژئودینامیکی مناسب در بلوک لوت پیشنهاد کردند. به نظر کریم‌پور و همکاران [۲۶]، فعالیت‌های آتشفشاری ترشیری در بلوک لوت با برونو ریزی و فوران ایگنمریت‌ها در بازه زمانی ۶۱ تا ۵۹ میلیون سال قبل (پالئوسن پایانی) آغاز شد. سپس طی دوره ائوسن میانی-الیگوسن آغازین توده‌های آذرین درونی از نوع دیوریت، مونزونیت و گرانودیوریت در بخش‌های مختلف بلوک لوت نفوذ یافتند. به اعتقاد آن‌ها ماجمای سازنده بازالت‌ها و توده‌های گرانیت‌وئیدی که در بازه زمانی ۳۰ الی ۴۳ میلیون سال قبل در بلوک لوت فوران یافته‌اند، ویژگی‌های ژئوشیمیایی مشابه با مناطق فرورانش را نشان می‌دهند. در مدل ژئودینامیکی پیشنهادی زرین‌کوب و همکاران [۲۶]، اقیانوس سیستان در کرتاسه آغازین-میانی باز شد سپس به زیر بلوک لوت فرورانش نمود. در کرتاسه پایانی-پالئوسن پایانی بلوک لوت و افغان به یکدیگر برخورد کردند که حاصل آن ضخیم شدن لیتوسفر و توده‌های نفوذی آدکیتی بوده است. در ائوسن میانی-الیگوسن پایانی، لیتوسفر شکسته شده و جریان‌های آستنوسفری به سمت بالا حرکت کردند. نتیجه این فرآیند، ولکانیسم با منشأ گوشه‌های بوده است.

طبق نظر پانگ و همکاران [۱۷]، سنگ‌های ماجمای ائوسن-الیگوسن بلوک لوت-سیستان با سنگ‌های ماجمایی کمربند ماجمایی ارومیه-دختر و البرز متفاوتند. به باور آن‌ها، سنگ‌های ماجمایی در این دوره در بلوک لوت دارای منشأ گوشه‌ای مانند منشأ بازالت‌های میان اقیانوسی بوده‌اند که با مواد پوسته قاره‌ای فوقانی دچار آلایش شده‌اند. میری بیدختی و همکاران [۲۷] با بررسی توده‌های گرانیت‌وئیدی الیگوسن محدوده ماهور، ماجمای والد را حاصل ذوب‌بخشی پریوتویت‌های پالئواسترنس مؤید تغییرات گستردگی در رژیم تکتونیکی در خاور ایران طی سنوزوئیک فوقانی بوده است. پژوهش‌های پالئواسترنس مؤید تغییرات گستردگی در رژیم تکتونیکی در پلیوسن فوکانی و در نهایت N ۲۵° در پلیوسن فوکانی و در N ۹۰° در میوسن میانی-فوکانی تا N ۶۰° در پلیوسن فوکانی و در نهایت N ۲۵° در پلیوسن فوکانی تغییر کرده است. در نتیجه می‌توان گفت که یک چرخش خلاف عقربه ساعت در جهت تنش فشاری در کمتر از ۵ میلیون سال روی داده است [۲۸].

در رابطه با پیشینه تحقیقاتی در ناحیه بررسی شده و اطراف آن می‌توان به گزارش نقشه ۱:۲۵۰،۰۰۰ نای‌بندان [۲۲] اشاره کرد. به باور آن‌ها در ناحیه نای‌بندان (که منطقه بررسی شده در شمال آن واقع است)، سنگ‌های آتشفشاری ائوسن رخنمون دارند که می‌توان آن‌ها را در دو گروه تقسیم کرد: گروه نخست در قاعده رخنمون داشته و از سنگ‌های پیروکلاستیک با ترکیب اسیدی تشکیل شده‌اند و به سمت بالا و به تدریج جریان‌های آندزیتی و داسیتی نیز ظاهر شده‌اند. روی آن‌ها گذاره‌های جریانی پیروکسن آندزیتی ریخته شده‌اند. روی گذاره‌های آندزیتی، گروه جوان‌تر از سنگ‌های آتشفشاری ائوسن با یک نبود نهشته شده‌اند. گروه اخیر در بردارنده سنگ‌های پیروکلاستیک و گذاره‌های ریولیتی و ایگنمریت هستند. به نظر کلایور و همکاران [۲۲] دوره این نبود، نامشخص است. بین گذاره‌های آتشفشاری



شكل ۱. نقشه زمین‌شناسی ساده شده از منطقه بررسی شده که از ورقه‌های ۱:۱۰۰,۰۰۰ زنوغان [۲۳] و سه چنگی [۳۰] اقتباس شده است.

ائوسن و گدازه‌های آتشفشاری الیگومن یک دگرشیبی بهوسیله اشتولکلین و نبوی [۲۹] گزارش شده است. هم نبود نخست و هم دگرشیبی اخیر در منطقه بررسی شده در این مقاله نیز دیده می‌شوند. به اعتقاد ترکیان و همکاران [۴] در آغاز سنوزوئیک، رسوبات کربناته در خاور ایران بخصوص در جنوب سه چنگی نهشته شدند اما در اائوسن گدازه‌های

آتشفشانی با ترکیب آندزیتی، تراکی آندزیتی فوران یافتند. در ورقه ۱:۱۰۰،۰۰۰ زنوغان، فریدی [۲۳]، بر پایه مقایسه چینه‌نگاری و با بهره‌گیری از نتایج تعیین سن بروش پاتاسیم-آرگن [۲۲]، سنگ‌های آتشفشانی را در گروههای سنی اتوسن، الیگوسن و نئوژن (شکل ۱) دسته‌بندی کرد که پترولوژی و ژئوشیمی سنگ‌های آتشفشانی اتوسن در این مقاله بحث شده است.

**جدول ۱. نتایج تجزیه ژئوشیمیابی اکسیدهای اصلی (%) و عناصر کمیاب و نادر خاکی (ppm)**

Sample	Z 143a1	Z 143b1	Z 263	Z 275a	Z 271	Z 245	Z 218-2	Z 263	Z 284a	Z 71
Rock	آنکلاو	آنکلاو	بازالتیک آندزیت	آندزیت-تراکی آندزیت						
Lb.	ALS			GSI						
SiO <sub>2</sub>	۵۳,۱	۵۳,۱	۵۹,۴	۵۷,۷۴	۵۸,۱۷	۵۹,۵۷	۶۶,۶۸	۵۷,۵	۵۵,۹	۵۸,۴۵
TiO <sub>2</sub>	۰,۸۳	۰,۸۱	۰,۸۱	۷۴,۰	۰,۷۸	۰,۷۵	۰,۴۹	۰,۸۳	۰,۹۲	۰,۷۹
Al <sub>2</sub> O <sub>3</sub>	۱۴,۱۵	۱۳,۹۵	۱۶,۶۵	۱۵,۵۴	۱۵,۷۱	۱۵,۳۶	۱۴,۵۶	۱۵,۷۴	۱۵,۵۱	۱۵,۷۸
Fe <sub>2</sub> O <sub>3</sub> <sub>t</sub>	۹,۳۱	۹,۲۷	۶,۴۸	۵,۳۶	۶,۱۶	۴,۸۷	۲,۷۶	۶,۳۴	۶,۹۱	۵,۶۵
MnO	۰,۲	۰,۱۹	۰,۱	۰,۰۸	۰,۱۷	۰,۱	۰,۰۶	۰,۰۸	۰,۰۸	۰,۱
MgO	۷,۳۴	۷,۳۱	۲,۲۵	۶,۶۸	۵,۱	۴,۲۱	۱,۶۶	۵,۱۶	۵,۲۳	۳,۸۵
CaO	۸	۸,۴۲	۵,۰۷	۳,۱۵	۴,۲۷	۳,۶	۲,۲۱	۶,۰۵	۵,۷۳	۴,۸۶
Na <sub>2</sub> O	۳,۰۵	۲,۹۹	۳,۹۷	۲,۸	۲,۹۱	۳,۱۴	۳,۲۲	۲,۹۲	۲,۷۸	۳,۴۸
K <sub>2</sub> O	۱,۶	۱,۵۶	۲,۷۷	۴,۵۶	۵	۵,۲۱	۵,۴۱	۲,۶	۴,۲۱	۴,۰۲
P <sub>2</sub> O <sub>5</sub>	۰,۲۵	۰,۲۳	۰,۲۳	۰,۲۸	۰,۳۱	۰,۲۷	۰,۱۴	۰,۲۶	۰,۳۹	۰,۲۹
L.O.I	۲,۰۷	۲,۲۳	۲,۶۴	۱,۲۵	۱	۱,۳	۲	۱,۵	۱,۷۱	۱,۸۱
Total	۹۹,۹	۱۰۰,۰۶	۱۰۰,۳۷	۹۷,۱۸	۹۹,۵۸	۹۸,۳۸	۹۹,۰۲	۹۸,۹۸	۹۹,۳۷	۹۹,۰۹
V	۲۴۶	۲۳۶	۱۳۱	۱۲۵	۱۳۱	۱۲۴	۸۹	۱۳۱	۱۵۵	۱۲۵
Cr	۴۶,۰	۴۳,۰	۲۰	۳۲,۳	۳۹,۵	۵	۵	۱۱,۲	۳۹,۹	۵
Co	۳۱,۹	۳۱,۵	۲۲,۹	۱۵,۹	۱۹	۱۵,۷	۹,۵	۲۰,۲	۲۲,۵	۱۹,۷
Ni	۵۳	۵۲	۶	۵	۴,۵	۵	۵	۴,۵	۵,۷	۱,۹
Cu	۴۷	۴۳	۲۵	۴۹	۵۹,۳	۳۰,۴	۲۰,۵	۲۸,۸	۵۷,۵	۲۸
Zn	۱۳۶	۱۲۸	۷۷	۷۶,۳	۶۰,۴	۵۳,۹	۳۵,۵	۶۲,۳	۶۰,۷	۵۷,۲
Ga	۱۵,۶	۱۵,۲	۱۹,۳	۸,۱	۱۰,۲	۸,۳	۲,۱	۱۴	۹,۸	۸,۴
Rb	۳۶,۲	۳۵,۶	۹۵,۸	۱۷۱,۳	۱۷۷,۹	۱۹۲,۵	۱۷۲,۹	۹۲,۹	۱۲۹,۷	۱۲۲,۱
Sr	۳۶۶	۳۵۲	۴۳۰	۴۹۰,۲	۵۵۹,۷	۱۱۴۳,۹	۴۰۰	۴۹۱,۶	۸۶۹,۹	۶۱۸,۸
Y	۱۶,۹	۱۶,۶	۲۱,۸	۴۵,۲	۴۷	۵۰	۴۶	۳۵,۸	۳۹,۵	۳۹,۷
Zr	۸۶	۸۴	۱۹۵	۱۷۹,۳	۱۶۴,۵	۲۴۲	۱۹۸,۷	۱۷۶,۱	۲۰۹,۳	۱۸۵,۸
Nb	۵	۴,۸	۱۷,۶	۴,۹	۷,۲	۱۲,۳	۸,۴	۱۲	۵,۵	۹,۲
Cs	۲,۳۲	۲,۴	۴,۰۵	.	.	.	.	.	.	.
Ba	۵۵۵	۲۴۷	۴۲۲	۷۲,۹	۸۳	۷۲	۸۵	۹۱	۱۳۸	۷۲
La	۱۷,۴	۱۷,۳	۳۱,۶	۲۹,۸	۱۹,۳	۲۵,۷	۱۴	۲۵,۹	۳۶,۹	۲۵
Ce	۳۱,۱	۳۰,۸	۶۱	۴۲,۹	۵۵,۱	۴۷,۸	۲۶,۹	۲۷,۵	۵۹,۴	۴۵,۷
Pr	۴,۵۲	۴,۴۷	۷,۱۱	.	.	.	.	.	.	.
Nd	۱۸,۸	۱۸,۷	۲۶,۶	۱	۱	۱	۱	۱	۱۰	۱
Sm	۳,۹۸	۴,۰۶	۵,۲	۱,۱	۵	۱,۹	۱	۰,۹	۱,۱	۱,۹
Eu	۱,۱۵	۱,۰۹	۱,۳۶	۰,۲	۱,۶	۰,۵	۰,۲	۰,۲	۰,۲	۰,۵
Gd	۳,۹۲	۳,۹	۵,۱۱	.	.	.	.	.	.	.
Tb	۰,۵۹	۰,۵۹	۰,۷۷	.	.	.	.	.	.	.
Dy	۳,۲۷	۳,۱۶	۴,۱۱	.	.	.	.	.	.	.
Ho	۰,۶۸	۰,۶۷	۰,۸۵	.	.	.	.	.	.	.
Er	۱,۹۶	۱,۸۷	۲,۵۲	.	.	.	.	.	.	.
Tm	۰,۲۸	۰,۲۷	۰,۳۶	.	.	.	.	.	.	.
Yb	۱,۷۲	۱,۷۲	۲,۳۱	۲,۲	۲,۲	۲,۲	۲,۱	۲,۲	۲,۲	۲,۲
Lu	۰,۳	۰,۲۸	۰,۳۶	.	.	.	.	.	.	.
Hf	۲,۳	۲,۲	۵,۱	.	.	.	.	.	.	.
Ta	۰,۳	۰,۳	۱,۲	۰,۷	۱,۱	۰,۳	۰,۲	۰,۲	۱	۰,۲
Pb	۱۰	۹	۱۳	.	.	.	.	.	.	.
Th	۳,۸۳	۳,۶۴	۱۱,۰۵	۱۱,۳	۱۱,۸	۱۲,۸	۱۱,۴	۶,۴	۸,۸	۸,۳
U	۲,۴۴	۲,۴۹	۳,۱۵	.	.	.	.	.	.	.

## ادامه جدول ۱

Sample	Z 274a	Z 143b1	Z 143a1	Z.16.5	Z 71	Z 143d	Z 245	Z 271	Z.16.9	Z.16.3	Z.16.6
Rock	آندزیت-تراکی آندزیت				آندزیت آندزیت-تراکی آندزیت						
Lb.	GSI				ALS						
SiO <sub>2</sub>	۵۸.۷۹	۵۰.۸۳	۵۲.۱۲	۶۱.۳	۵۸.۹	۶۱.۵	۶۰.۷	۵۸.۳	۶۴.۴	۶۳.۶	۵۹.۵
TiO <sub>2</sub>	۰.۷۸۷	۰.۸	۰.۸۱	۰.۵۸	۰.۶۹	۰.۷۱	۰.۶۲	۰.۷۱	۰.۵۹	۰.۳۸	۰.۶۴
Al <sub>2</sub> O <sub>3</sub>	۱۵.۶۶	۱۳.۹۳	۱۳.۳۲	۱۶.۴۵	۱۶.۵۵	۱۶.۵	۱۶	۱۵.۹	۱۶.۶۵	۱۶.۹۵	۱۶.۵۵
Fe <sub>2</sub> O <sub>3t</sub>	۵.۷	۹.۳۸	۹.۴۳	۵.۱	۶.۱۸	۴.۶	۵.۰۶	۶.۲۵	۳.۹۶	۳.۶۵	۵.۴۹
MnO	۰.۰۸	۰.۱۹	۰.۱۹	۰.۰۸	۰.۱۲	۰.۱۱	۰.۱۱	۰.۱۱	۰.۱۹	۰.۰۴	۰.۱۲
MgO	۴.۴۱	۱.۰	۱۰.۳	۱.۷۵	۲.۴	۱.۳۴	۲.۲۷	۲.۹۶	۰.۹۹	۰.۸۱	۲.۱۲
CaO	۴.۳۸	۱.۰	۹.۳	۵.۸۴	۴.۷۴	۴.۳۳	۲.۹۸	۳.۹۱	۴.۲۲	۲.۷۷	۳.۰۴
Na <sub>2</sub> O	۳.۲۴	۲.۸۳	۲.۹۲	۴.۰۵	۳.۹۸	۳.۴۶	۳.۶۷	۳.۵۱	۴.۰۶	۳.۷۱	۴.۲
K <sub>2</sub> O	۴.۶۶	۱.۰۸	۱.۶	۱.۲۱	۱.۱۱	۴.۸۵	۵.۳۷	۴.۹۵	۲.۵۵	۰.۵۵	۴.۰۲
P <sub>2</sub> O <sub>5</sub>	۰.۲۸	۰.۲۴	۰.۲۴	۰.۳۳	۰.۲۸	۰.۱۹	۰.۲۵	۰.۳	۰.۲۱	۰.۱۲	۰.۲۷
L.O.I	۱.۲۱	۰.۵۱	۰.۴۲	۲.۲۷	۱.۳۵	۱.۷۶	۲.۰۸	۲.۱۴	۱.۸۴	۱.۷۸	۲.۳
Total	۹۹.۱۹	۱۰۰.۲۹	۱۰۰.۶۵	۹۹.۰۷	۹۹.۰۵	۹۹.۵	۹۹.۳	۹۹.۳	۹۹.۷۶	۹۹.۴۸	۹۹.۹
V	۱۳۱	۱۴۰	۱۴۲	۷۹	۱۴۹	۱۰۱	۱۲۰	۱۶۰	۶۳	۴۸	۱۲۹
Cr	۳۹.۵	۳۸۹.۳	۴۰۱.۲	۲۰	۱۰	۸۰	۱۰	۴۰	۳۰	۲۰	۲۰
Co	۱۷	۳۳	۳۲.۹	.	۳۲.۹	۱۰.۹	۲۲.۹	۱۵.۹	.	.	.
Ni	۴.۶	۶۱.۲	۶۲	.	<۵	۷	<۵	۵	.	.	.
Cu	۴۴.۶	۴۹.۱	۵۲	.	۲۶	۲۹	۳۲	۵۵	.	.	.
Zn	۵۶.۵	۱۲۴	۱۲۷.۶	.	۸۲	۶۱	۷۴	۸۰	.	.	.
Ga	۱۰.۶	۱۰.۲	۹	۲۰.۷	۱۷.۴	۱۷.۸	۱۶.۹	۱۶.۹	۲۱.۹	۱۸.۲	۱۸.۹
Rb	۱۷۰.۱	۳۲.۸	۳۴.۹	۴۷.۹	۱۲۹.۵	۱۶۷.۵	۱۹۸	۱۷۹	۶۰.۶	۱۶۹	۱۳۷
Sr	۴۹۳.۱	۴۰۰.۹	۴۰.۴.۳	۴۶۹	۵۷۶	۳۳۶	۱۰.۵۰	۵۰۰	۸۴۹	۶.۰۵	۹۲۷
Y	۴۴.۸	۲۴.۰۲	۲۲.۳	۱۶.۸	۲۲.۶	۲۴	۲۲.۲	۲۱.۱	۱۱.۶	۲۲.۱	۲۲.۸
Zr	۱۸۰	۹۵.۳	۹۵.۶	۲۵۱	۱۹۸	۲۷۶	۲۲۰	۱۶۸	۱۵۶	۲۶۹	۲۲۳
Nb	۶	۲.۷	۰.۳	۱۲.۱	۱۱.۴	۱۶.۵	۱۳.۴	۱۰.۷	۹.۱	۱۴.۳	۱۱.۱
Cs	.	.	.	۱.۹۳	۶.۹۹	۴.۱۸	۶.۶۴	۸.۸۷	۱.۸۶	۴.۵۷	۱۱
Ba	۸۴.۳	۹۸.۶	۱۰۷.۷	۵۱۴	۶۴۴	۷۱۱	۶۹۰	۷۸۴	۶۷۶	۴۲۱	۷۱۲
La	۲۱.۴	۲۴.۳	۲۱.۱	۳۹.۳	۳۲.۴	۳۶.۳	۳۴.۱	۳۱.۲	۳۰.۵	۳۶.۱	۳۲
Ce	۴۴.۱	۱۸.۲	۱۶.۹	۶۷.۱	۶۴	۶۹.۳	۶۶.۸	۶۲.۱	۵۵.۵	۶۸.۸	۶۲.۷
Pr	.	.	.	۷.۰۷	۷.۷	۸.۰۱	۷.۹۲	۷.۴۹	۵.۸۷	۷.۹	۷.۶۱
Nd	۰.۷	۲.۷	۱۰.۷	۲۴.۵	۳۰.۵	۳۰.۷	۳۰.۴	۲۹.۴	۲۲.۲	۲۹.۴	۳۰.۱
Sm	۰.۷	۰.۹	۶.۱	۴.۳	۶.۱۶	۵.۹۱	۵.۹۱	۵.۸۱	۳.۷۸	۵.۶۹	۶
Eu	۰.۱	۱.۹	۲	۱.۰۶	۱.۴۸	۱.۳۸	۱.۳۹	۱.۵۱	۱.۱	۱.۲۴	۱.۳۸
Gd	.	.	.	۳.۳۳	۵.۶۶	۵.۷۳	۵.۶۱	۵.۵۹	۳.۰۶	۴.۴۹	۴.۱۹
Tb	.	.	.	۰.۴۹	۰.۸۱	۰.۸۱	۰.۷۸	۰.۷۸	۰.۴۲	۰.۶	۰.۶۸
Dy	.	.	.	۲.۹۹	۴.۱۶	۴.۴۳	۴.۰۵	۳.۹۲	۳.۳۲	۳.۶۶	۴.۱۲
Ho	.	.	.	۰.۵۲	۰.۸۵	۰.۹۱	۰.۸۳	۰.۸	۰.۴	۰.۷	۰.۷۸
Er	.	.	.	۱.۶۱	۲.۵۵	۲.۷۸	۲.۴۳	۲.۳۸	۱.۲۳	۲.۰۷	۲.۳۵
Tm	.	.	.	۰.۱۸	۰.۳۷	۰.۴	۰.۳۵	۰.۳۳	۰.۱۱	۰.۲۹	۰.۳۲
Yb	۲.۲	۲.۷	۲.۷	۱.۴	۲.۴۵	۲.۷۱	۲.۴۳	۲.۲۱	۱.۱	۲.۲۸	۲.۳۶
Lu	.	.	.	۰.۱۶	۰.۳۹	۰.۴۳	۰.۳۹	۰.۳۴	۰.۱۳	۰.۳۳	۰.۳
Hf	.	.	.	۴.۷	۵.۱	۷.۱	۵.۸	۴.۴	۲.۷	۶	۵
Ta	۰.۶	۰.۷	۰.۸	۰.۷	۰.۷	۱.۱	۰.۹	۰.۷	۰.۵	۰.۹	۰.۶
Pb	.	.	.	.	۱۶	۱۷	۲۱	۱۸	.	.	.
Th	۱۱.۳	۲.۸	۲.۸	۹.۷۱	۱۲.۸۵	۱۶.۶۵	۱۷.۱	۱۱.۶	۸.۲	۱۶.۲	۱۲.۸
U	.	.	.	۱.۶۸	۳.۰۹	۳.۹۷	۴.۰۶	۲.۹۱	۲.۰۲	۴.۰۷	۳.۳۵

## ادامه جدول ۱

Sample	Z.16.7	Z 280	Z.16.4	Z 143b	Z 143a	Z 143b	Z 5d	Z 5c	Z 5b	Z 5a
Rock	ترکی داسیت	داسیت		دایک داسیتی			داسیت-ریدو داسیت			
Lb.	ALS					GSI				
SiO <sub>2</sub>	۶۴,۲	۶۸,۲	۶۳,۶	۷۱,۶۸	۷۳,۳	۷۳,۸	۶۹,۶۱	۶۹,۰۸	۶۸,۹۹	۶۸,۸
TiO <sub>2</sub>	۰,۳۹	۰,۴۶	۰,۶	۰,۵۹	۰,۴۴	۰,۴۸	۰,۲۹	۰,۳۲	۰,۳۷	۰,۳۳
Al <sub>2</sub> O <sub>3</sub>	۱۶,۹	۱۴,۰۵	۱۶,۸	۱۲,۹۴	۱۱,۹	۱۲	۱۴,۲۱	۱۴,۱۷	۱۴,۱۴	۱۴,۲۷
Fe <sub>2</sub> O <sub>3t</sub>	۲,۸۳	۳,۱۹	۴,۵۵	۴,۳۷	۳,۳	۳,۶۵	۱,۷۲	۲,۰۹	۲,۰۸	۲,۱۱
MnO	۰,۱	۰,۰۵	۰,۰۹	۰,۱۱	۰,۱	۰,۱	۰,۱	۰,۱۴	۰,۱۲	۰,۱۴
MgO	۰,۶۹	۱,۲۳	۱,۸۷	۱,۳۱	۰,۹۷	۱,۰۴	۰,۷۶	۱,۰۱	۱,۰۷	۱,۱۲
CaO	۲,۲۸	۲,۰۲	۴,۶۷	۱,۸۵	۲,۴۴	۱,۷۷	۰,۸۱	۰,۶۱	۱,۴۳	۰,۵۴
Na <sub>2</sub> O	۴,۰۵	۵,۰۳	۴,۶۷	۳,۹۴	۳,۸۱	۳,۹۵	۲,۸۵	۲,۹۲	۳,۵	۲,۹۳
K <sub>2</sub> O	۰,۲۸	۲,۰۲	۱,۲۶	۱,۷۳	۱,۴۴	۱,۶۸	۷,۹	۷,۰۶	۵,۹۶	۷,۵۳
P <sub>2</sub> O <sub>5</sub>	۰,۱	۰,۱۲	۰,۳۵	۰,۱۴	۰,۱۳	۰,۱۲	۰,۰۶	۰,۰۸	۰,۱۱	۰,۰۸
L.O.I	۲,۱	۲,۵۱	۱,۴۸	۱,۲	۱,۷	۲,۷۷	۱	۱,۲۳	۱,۱۱	۱,۴۱
Total	۹۹,۷	۹۹,۵	۱۰۰,۰۵	۹۹,۶۶	۹۹,۶	۹۹,۵	۹۸,۱۱	۹۸,۲۱	۹۹,۳۸	۹۹,۳۷
V	۳۶	۳۰	۸۴	۴۶,۱	۵۶	۶۲	۱۹,۹	۲۲,۱	۲۷,۹	۲۳,۳
Cr	۱۰	۲۰	۴۰	۲۴۰,۸	۳۰	۳۰	۲۲۸,۷	۲۲۹,۳	۲۳۰,۸	۲۲۹,۴
Co	-	۲,۷	-	۷,۵	۶,۴	۶,۴	۰,۶	۱,۶	۲	۱,۱
Ni	-	<۵	-	۱۴,۷	<۵	۵	۸,۶	۹,۶	۸,۶	۹,۴
Cu	-	۱۴	-	۳۰,۸	۲۳	۲۴	۷	۳۷,۹	۳۰,۷	۴۰,۶
Zn	-	۱۶۹	-	۶۱,۳	۴۹	۶۰	۷۴,۴	۱۳۷,۴	۷۲,۱	۱۴۶,۲
Ga	۱۸,۲	۱۶,۶	۲۰,۵	۱۷	۹,۷	۱۱,۱	۱۷	۱۷,۱	۱۷,۲	۱۷,۱
Rb	۱۶۶,۵	۱۹,۰	۵۲,۱	۸۷,۹	۵۵,۵	۶۱,۹	۳۴۱,۱	۳۲۳,۹	۲۵۴,۹	۳۲۵,۷
Sr	۵۲۰	۲۴۰	۴۶۴	۸۸۴,۷	۶۱۲	۷۱۵	۱۷۱	۱۸۰,۶	۲۵۷,۶	۱۸۱,۴
Y	۲۵,۴	۳۴,۸	۱۶,۳	۲۰,۲	۱۸,۱	۱۸,۹	۵۲,۲	۴۸,۸	۴۰,۶	۴۸,۹
Zr	۳۳۵	۲۷۳	۲۵۲	۲۴۰,۸	۱۶۱	۱۷۲	۲۲۸,۷	۲۲۹,۳	۲۳۰,۸	۲۲۹,۴
Nb	۱۴	۱۶,۲	۱۲,۱	۱۵,۶	۹,۱	۱۰	۲۰,۱	۱۷,۴	۱۷,۳	۱۶,۸
Cs	۱۰,۵	۷,۶۶	۱,۸۱	-	۸,۴۳	۹,۲۸	-	-	-	-
Ba	۸۸۶	۴۰,۴	۶۳۱	۴۶۵,۱	۲۷۷	۳۵۶	۲۹۹,۷	۳۳۲,۷	۳۲۸,۴	۳۳۹,۹
La	۳۸,۱	۳۴,۶	۳۹,۲	۳۷,۷	۲۲,۲	۲۳,۲	۲۱,۶	۲۵,۲	۲۸,۲	۲۵,۹
Ce	۷۲,۲	۶۳,۷	۶۵,۷	۷۲,۱	۴۲,۹	۴۶,۲	۶۴,۷	۶۶,۲	۶۵,۵	۶۶,۶
Pr	۱,۴۳	۸,۳	۶,۹۳	-	۵,۲۸	۵,۷۵	-	-	-	-
Nd	۳۱,۲	۳۲,۵	۲۴,۷	۲۰,۹	۲۰,۷	۲۲,۶	۹,۱	۱۰,۹	۱۵	۱۲
Sm	۶,۷۴	۶,۶۲	۴,۲۱	۶,۸	۴,۱	۴,۶۶	۱	۰,۳	۱,۹	۰,۷
Eu	۱,۳۸	۱,۴۶	۱,۲۶	۲	۰,۹۹	۱,۰۵	۱,۴	۲,۴	۲	۲,۴
Gd	۴,۵۸	۶,۷	۳,۸۴	-	۳,۹۱	۴,۴۴	-	-	-	-
Tb	۰,۷۴	۱,۰۶	۰,۴۹	-	۰,۵۸	۰,۶۵	-	-	-	-
Dy	۴,۲۷	۶,۲۲	۲,۸۸	-	۳,۲۸	۳,۰۴	-	-	-	-
Ho	۰,۸۳	۱,۳۳	۰,۵۱	-	۰,۶۷	۰,۷۲	-	-	-	-
Er	۲,۵۷	۳,۹۸	۱,۰۸	-	۱,۹۴	۲,۰۹	-	-	-	-
Tm	۰,۳۴	۰,۶۱	۰,۱۰	-	۰,۲۹	۰,۳	-	-	-	-
Yb	۲,۵۵	۴,۰۲	۱,۰۴	۶,۶	۱,۹۴	۱,۹۹	۳,۵	۳,۷	۴,۲	۳,۸
Lu	۰,۳۹	۰,۶۶	۰,۱۹	-	۰,۳۲	۰,۳۱	-	-	-	-
Hf	۷,۴	۷,۲	۴,۹	-	۴,۲	۴,۵	-	-	-	-
Ta	۰,۸	۱	۰,۸	۰,۹	۰,۶	۰,۷	۰,۸	۰,۷	۰,۷	۰,۷
Pb	-	۲۰	-	-	۱۴	۱۳	-	-	-	-
Th	۱۷,۲۵	۱۳,۳۵	۹,۷۸	۱۸,۳	۹,۸	۱۰,۷۵	۲۳,۸	۲۰,۹	۲۰,۹	۲۱,۳۱
U	۴,۱۹	۳,۱۹	۱,۷۷	-	۲,۸۴	۳,۴۱	-	-	-	-

## ادامه جدول ۱

Sample	Z 5b	Z 5d	Z 279	Z 260	Z 282	Z 13-1a	Z 13-2a	Z 143a	Z 143b	Z 143d
Rock	ریولیت									
Lb.	ALS									
	GSI									
SiO <sub>2</sub>	۶۹,۱	۷۱,۲	۷۱,۴	۷۰,۴	۷۴,۵	۶۶,۹۲	۶۷,۷۸	۷۲,۲۸	۷۱,۶۸	۶۳,۲۳
TiO <sub>2</sub>	۰,۳۸	۰,۳	۰,۲۵	۰,۱	۰,۲۱	۰,۴۸	۰,۴۶	۰,۴	۰,۴۹	۰,۶۸
Al <sub>2</sub> O <sub>3</sub>	۱۴	۱۳,۴۵	۱۲,۶	۱۲,۲۵	۱۲,۱۵	۱۶,۲۸	۱۶,۳۹	۱۲,۳۷	۱۲,۹۴	۱۵,۵۷
Fe <sub>2</sub> O <sub>3t</sub>	۲,۸۱	۲,۰۴	۱,۹۲	۱,۱۳	۱,۲۱	۲,۷۸	۲,۷۱	۳,۹۹	۴,۳۷	۴,۱۸
MnO	۰,۱۲	۰,۱	۰,۰۶	۰,۰۸	۰,۰۷	۰,۰۳	۰,۱	۰,۱۲	۰,۱۱	۰,۱
MgO	۰,۹۸	۰,۵۹	۰,۱۶	۰,۳۵	۰,۱۶	۰,۶۶	۰,۶۸	۱,۱۹	۱,۳۱	۱,۱۸
CaO	۱,۰۷	۰,۹	۲,۰۶	۰,۶۹	۰,۶۶	۰,۷۲	۱,۰۷	۲,۹۲	۱,۸۵	۴,۴۴
Na <sub>2</sub> O	۳,۶۳	۲,۳۴	۳,۰۹	۲,۸۶	۳,۶۱	۴,۷۵	۴,۹۱	۳,۹۸	۳,۹۴	۳,۶۴
K <sub>2</sub> O	۰,۹۲	۷,۹	۵,۶۲	۰,۰۴	۰,۶۳	۰,۸۳	۰,۰۹	۱,۰۲	۱,۷۳	۰,۴
P <sub>2</sub> O <sub>5</sub>	۰,۱۲	۰,۰۸	۰,۱۳	۰,۰۱	۰,۰۲	۰,۱۳	۰,۱۳	۰,۱۲	۰,۱۴	۰,۱۶
L.O.I	۰,۶	۰,۵۵	۱,۹	۱,۷۹	۰,۵۲	۰,۶	۰,۳۴	۰,۷	۱	۰,۵
Total	۹۹,۳	۹۹,۵	۱۰۰,۲	۹۹,۸	۹۹,۸	۹۹,۱۸	۹۹,۸۲	۹۹,۷۳	۹۹,۶۶	۹۸,۵۸
V	۵۱	۲۹	۱۶	۶	۱۰	۳۶,۵	۳۴,۹	۴۲	۴۶,۱	۵۶,۴
Cr	۵۰	۷۰	۸۰	<۱۰	۹۰	۳۶۸,۹	۳۸۵,۶	۲۲۲,۸	۲۴۰,۸	۲۴۶,۲
Co	۰,۵	۲,۹	۱,۵	۲۰	۰,۶	۲,۸	۲,۸	۶,۹	۷,۵	۶,۳
Ni	<۵	<۵	<۵	<۵	<۵	۸,۵	۹,۱	۱۳,۴	۱۴,۷	۷,۶
Cu	۲۶	۷	۵	<۵	<۵	۳,۶	۴,۶	۳۳,۱	۳۰,۸	۲۲,۲
Zn	۷۶	۷۵	۲۴	۳۱	۳۵	۳۸,۷	۵۷,۳	۴۹,۲	۶۱,۳	۳۶,۵
Ga	۱۴,۷	۱۳	۱۱,۸	۱۲,۶	۱۴,۱	۱۸,۱	۱۸,۳	۱۶,۶	۱۷	۱۶,۱
Rb	۲۶,۳	۳۶,۷	۱۹۶,۵	۱۴۷	۲۲۰	۲۰۲,۷	۱۹۶,۷	۸۴,۲	۸۷,۹	۱۴۶,۶
Sr	۲۲۳	۱۴۷	۳۶,	۷۷,۹	۵۷,۳	۵۷۹,۳	۴۴۹,۵	۷۸۲,۹	۸۸۴,۷	۳۳۵,۲
Y	۲۲,۹	۲۴,۳	۱۷,۳	۱۵	۲۵,۸	۳۵,۷	۳۶	۱۹,۶	۲۰,۲	۲۲,۲
Zr	۲۲۹	۲۳۷	۲۶,	۹۶	۱۹۹	۳۶۸,۹	۳۸۵,۶	۲۲۲,۸	۲۴۰,۸	۲۴۶,۲
Nb	۱۸,۳	۱۹,۶	۱۴,۷	۲۱	۲۱	۱۶,۷	۱۷,۳	۱۵,۲	۱۵,۶	۹,۹
Cs	۸,۴۲	۹,۲۱	۷,۵۸	۲,۷۶	۶,۷۹	.	.	.	.	.
Ba	۲۹	۲۸۴	۵۲۷	۴۸۶	۹۹,۸	۸۰۳,۴	۸۲۲,۸	۳۹۵,۸	۴۶۰,۱	۷۶۳,۸
La	۳۹,۲	۴۱,۱	۳۰,۶	۲۵,۵	۴۲,۸	۳۲,۲	۳۷,۱	۳۴,۴	۳۷,۷	۲۹,۳
Ce	۷۶,۹	۸۰,۶	۵۷,۸	۴۶,۶	۸۴,۴	۸۹,۹	۹۱,۵	۶۸,۹	۷۲,۱	۸۶,۵
Pr	۸,۸۷	۹,۱	۸,۶۲	۴,۵۷	۹,۱۴	.	.	.	.	.
Nd	۳۲,۱	۳۲,۴	۲۲,۷	۱۰,۳	۳۲,۴	۱۶,۸	۱۸,۸	۱۸,۳	۲۰,۹	۱۴,۱
Sm	۰,۹۶	۶,۱۲	۴,۵	۲,۷۱	۶,۰۷	۲,۱	۲,۸	۵,۸	۶,۸	۱,۳
Eu	۰,۱۹	۰,۸۲	۰,۹۲	۰,۴۴	۰,۷۱	۰,۳	۱,۶	۲,۲	۲	۱,۵
Gd	۰,۶	۰,۷۵	۴,۰۲	۲,۸۶	۰,۶۲	.	.	.	.	.
Tb	۰,۷۹	۰,۷۹	۰,۵۶	۰,۴۳	۰,۸۴	.	.	.	.	.
Dy	۴,۲۲	۴,۲۱	۲,۸۵	۲,۴۷	۴,۴۴	.	.	.	.	.
Ho	۰,۸۷	۰,۹	۰,۶۳	۰,۵۳	۰,۹۵	.	.	.	.	.
Er	۲,۶۶	۲,۷۷	۱,۹۴	۱,۶۵	۲,۸۹	.	.	.	.	.
Tm	۰,۴	۰,۴۳	۰,۳	۰,۲۶	۰,۴۴	.	.	.	.	.
Yb	۲,۷۵	۲,۹۱	۲,۱۹	۱,۸۲	۳,۰۱	۳,۸	۴,۲	۶,۴	۶,۶	۱,۷
Lu	۰,۴۶	۰,۴۷	۰,۳۵	۰,۳	۰,۴۸	.	.	.	.	.
Hf	۶,۷	۷	۷,۶	۳,۲	۶,۳	.	.	.	.	.
Ta	۱,۳	۱,۴	۱	۱,۸	۱,۵	۰,۸	۰,۸	۰,۹	۰,۹	۰,۵
Pb	۱۵	۱۷	۱۶	۱۹	۲۴	.	.	.	.	.
Th	۲۵,۳	۲۷,۵	۱۸,۵	۱۳,۶۵	۲۷,۲	۲۰,۱	۲۰,۴	۱۸,۵	۱۸,۳	۹,۳
U	۰,۸۵	۶,۳۱	۳,۰۵	۳,۰۲	۶,۲۱	.	.	.	.	.

## ادامه جدول ۱

Sample	Z 218-2	Z 279	Z 281	Z 281	Z 282	Z 260	Z 280
Rock	ريوليت بورفيريك		ريوليت بوليت		ريوليت جوش خورده		
Lb.	ALS	GSI	SGS	GSI	GSI	GSI	GSI
SiO <sub>2</sub>	۶۸,۱	۷۱,۵۷	۷۲,۵	۷۳,۱۷	۷۲,۷۴	۷۵,۰۳	۶۹,۷۴
TiO <sub>2</sub>	۰,۳۹	۰,۲۵	۰,۲۳	۰,۲۴	۰,۲۲	۰,۱	۰,۵۴
Al <sub>2</sub> O <sub>3</sub>	۱۶,۷۵	۱۳,۵۹	۱۳,۸	۱۳,۷۷	۱۳,۲۹	۱۳,۵۲	۱۴,۲۲
Fe <sub>2</sub> O <sub>3</sub>	۳,۰۶	۱,۶۸	۱,۲	۱,۲۱	۲,۱۶	۱,۱۳	۳,۶
MnO	۰,۰۷	۰,۰۶	۰,۰۷	۰,۰۸	۰,۰۷	۰,۰۸	۰,۰۶
MgO	۰,۹۴	۰,۲۱	۰,۱۹	۰,۲۷	۰,۲۲	۰,۵۳	۱,۶۱
CaO	۲,۰۷	۲,۰۵	۰,۸۱	۰,۷۱	۰,۵۳	۰,۶۸	۱,۹۵
Na <sub>2</sub> O	۲,۷	۲,۲۹	۳,۹۶	۳,۷۸	۳,۴۲	۳,۰۹	۵,۲۴
K <sub>2</sub> O	۵,۴۵	۵,۶۱	۴,۷۷	۴,۷۸	۵,۳۲	۴,۹۵	۲,۰۲
P <sub>2</sub> O <sub>5</sub>	۰,۱۱	۰,۱۵	۰,۰۲	۰	۰,۰۱	۰,۰۱	۰,۰۹
L.O.I	۱,۰۴	۱	۲,۳۱	۱,۱	۰,۴	۰,۳۲	۰,۳۵
Total	۹۹,۸	۹۸,۴۶	۹۹,۹	۹۹,۱۱	۹۹,۳۸	۹۹,۴۴	۹۹,۴۲
V	۶۱	۱۶,۱	۱۰	۱۴,۴	۱۲,۳	۳,۱	۳۹,۸
Cr	<۱۰	۲۹۱,۵	۵۰	۲۱۶	۲۰۶,۴	۹۶,۴	۳۱۳,۲
Co	۳۲,۳	۰,۵	۰,۸	۰,۱	۳	۳,۴	۰,۱
Ni	<۵	۸,۹	<۵	۱۲,۹	۱۲,۶	۱۱,۴	۱۰,۷
Cu	۲۲	۵	<۵	۸,۲	۸,۴	۶,۴	۱۷,۳
Zn	۵۲	۱۳,۸	۴۶	۵۷,۶	۳۸,۲	۳۶,۶	۲۰,۴,۴
Ga	۱۴,۵	۱۶,۷	۱۴,۱	۱۹,۱	۱۸,۶	۱۸,۶	۱۸,۵
Rb	۱۷۹,۵	۲۰۰,۷	۲۳۳	۲۵۸,۶	۲۲۶,۲	۱۷۳,۸	۲۰,۴,۵
Sr	۲۷۷	۴۲۳,۸	۵۶,۱	۷۷,۹	۷۲,۳	۱۰,۴,۵	۲۹۶,۴
Y	۲۲,۲	۲۱,۲	۲۵,۴	۴۷,۸	۴۳,۳	۲۹,۹	۴۲,۱
Zr	۲۵۲	۲۹۱,۵	۱۹۶	۲۱۶	۲۰۶,۴	۹۶,۴	۳۱۳,۲
Nb	۱۵,۵	۱۶	۲۰,۷	۲۴,۹	۲۳,۱	۲۴,۲	۱۸,۳
Cs	۶,۴۹	.	۹,۳۷	.	.	.	.
Ba	۴۰	۵۳۶,۱	۹۲,۹	۱۴۵,۵	۱۴۵,۳	۴۹۴	۴۸۵,۵
La	۳۶,۷	۱۴,۸	۴۳	۳۱,۹	۲۹,۶	۱۶,۴	۴۰,۹
Ce	۷۲,۲	۷۵,۴	۸۲,۱	۵۸,۱	۵۷,۹	۷۴	۷۴,۷
Pr	۸,۳۷	.	۹,۳	.	.	.	.
Nd	۳۱,۵	۶	۳۲,۹	۱۵,۳	۱۲,۱	۵,۷	۲۱,۶
Sm	۵,۹۱	۱	۶,۱۴	۲	۰,۶	۱	۴,۷
Eu	۱,۱۴	۰,۵	۰,۷۴	۱,۱	۰,۹	۱,۲	۰,۹
Gd	۵,۶۵	.	۵,۷۸	.	.	.	.
Tb	۰,۷۹	.	۰,۸۱	.	.	.	.
Dy	۴,۱۲	.	۴,۳۱	.	.	.	.
Ho	۰,۸۷	.	۰,۹۳	.	.	.	.
Er	۲,۶۱	.	۲,۹	.	.	.	.
Tm	۰,۴۱	.	۰,۴۴	.	.	.	.
Yb	۲,۷۴	۴,۳	۳,۰۵	۷,۴	۶,۶	۶,۶	۵,۶
Lu	۰,۴۲	.	۰,۴۸	.	.	.	.
Hf	۶,۶	.	۶,۲	.	.	.	.
Ta	۱,۱	۰,۸	۱,۵	۱,۱	۱	۱,۱	۰,۹
Pb	۲۱	.	۲۳	.	.	.	.
Th	۱۹,۳	۱۹,۹	۲۶,۹	۳۱,۳	۲۸,۷	۲۳,۶	۱۸,۸
U	۴,۶۹	.	۶,۱۶	.	.	.	.

## اهداف و روش پژوهش

اگرچه در پیشینه مطالعاتی از ناحیه لوت می‌توان به اطلاعات ارزشمندی در مورد سنگ‌های آتشفشانی دست یافته اما اطلاعات پترولوژی و ژئوشیمیایی جامعی از سنگ‌های آتشفشانی باختر سه‌چنگی در دسترس نبود. در این راستا

سنگ‌های آتشفسانی این منطقه بررسی شدند و نتایج حاصل از بررسی‌های زمین‌شناسی، پترولولوژی و ژئوشیمی در این مقاله به بحث گذاشته شدند.

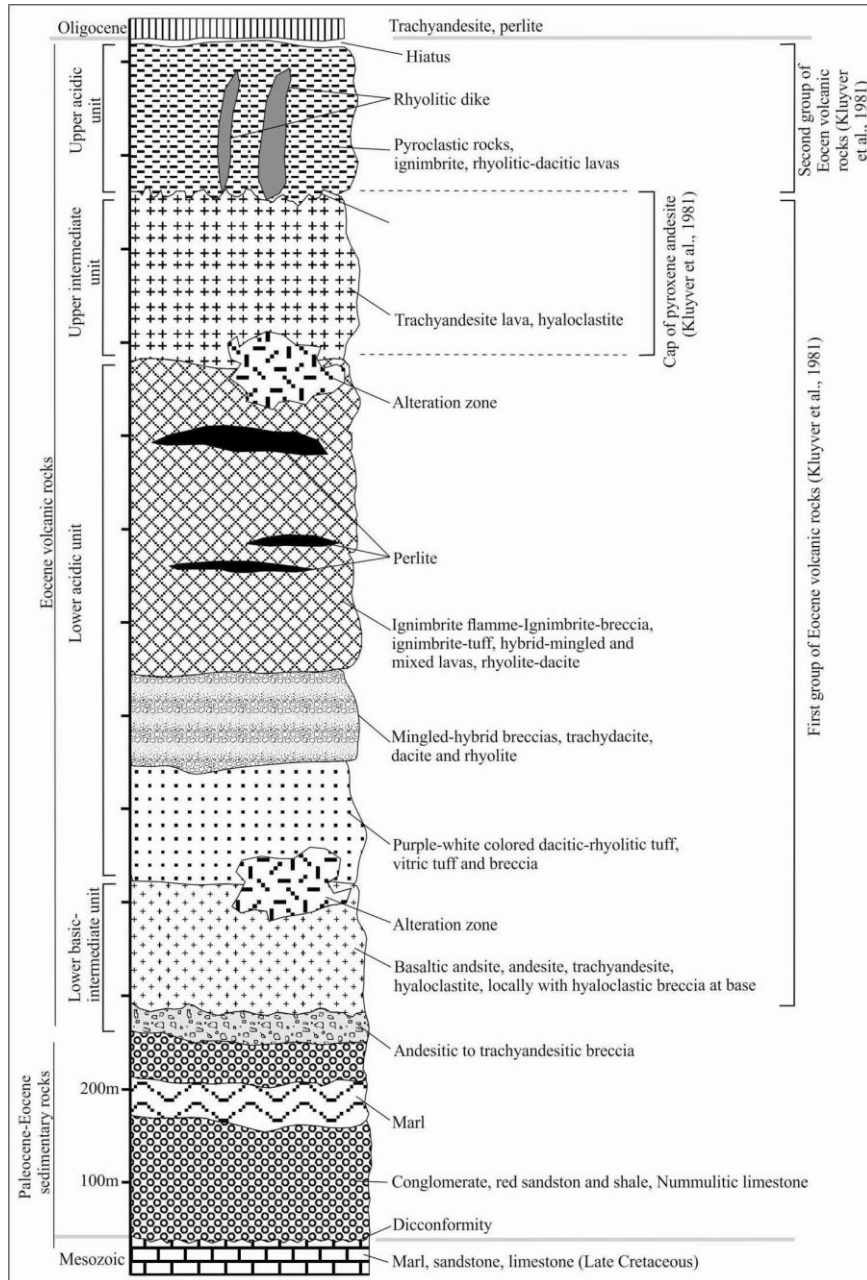
بازدید صحرایی از رخنمون‌های زمین‌شناسی در آذرماه ۱۳۹۵ انجام شد. در پیمایش‌های صحرایی از عکس‌های هوایی با مقیاس ۱:۵۰,۰۰۰ و تصاویر ماهواره‌ای ETM با مقیاس ۱:۸۰,۰۰۰ Bing map SateliteT و Earth استفاده شد. پس از تهیه مقاطع میکروسکوپی، بررسی‌های پتروگرافی انجام و نمونه‌های سالم‌تر برای انجام تجزیه‌های شیمیایی انتخاب و به آزمایشگاه‌های سازمان زمین‌شناسی کشور (GSI) و آزمایشگاه SGS در کشور کانادا ارسال شدند (جدول ۱). در آزمایشگاه سازمان زمین‌شناسی، اکسیدهای اصلی به روش XRF (با دقت ۰,۱ درصد) و عناصر نادر و کمیاب (با دقت ppm) به روش ICP-OES اندازه‌گیری شدند. در آزمایشگاه ALS نیز اکسیدهای اصلی ICP-Mass spectrometry و سایر عناصر با روش ICP-AES Ba, Sr, Y, Zr, Zn با روش Igpet 2007 نمودارهای تجزیه شدند که نتایج این تجزیه‌ها در جدول ۱ آورده شدند. با کمک نرم‌افزارهای Excel و CorelDRAW X6 بازترسیم و مرتب شدند. اطلاعات بیشتر در مورد روش‌های آزمایشگاهی سازمان زمین‌شناسی را می‌توان در وب سایت آن سازمان و آزمایشگاه ALS را می‌توان در آدرس ([www.alsglobal.com](http://www.alsglobal.com)) جستجو کرد.

### زمین‌شناسی منطقه

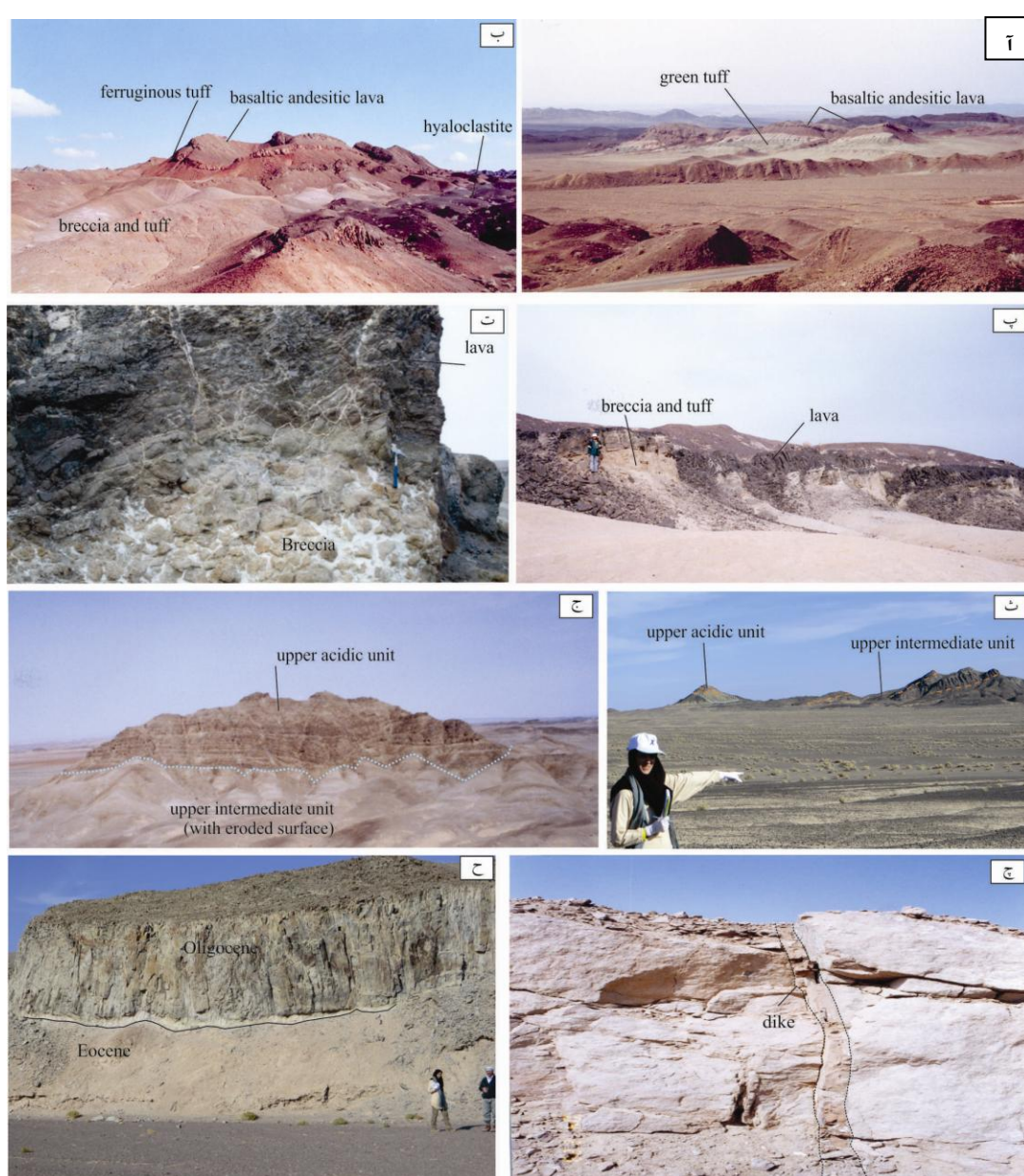
در باخته سه چنگی واحدهای آتشفسانی ترشیری عمدۀ منطقه را پوشانده‌اند. در منطقه بررسی شده قدیمی‌ترین واحد زمین‌شناسی منسوب به اوسن است که در گوشۀ جنوب خاوری آن و در حوالی کلات زینب بروند دارد (شکل ۱). این واحد در بردارنده ماسه‌سنگ و مارن قرمزنگ همراه با کنگلومرا است که با ناپیوستگی هم شیب روی سنگ‌های رسوبی تریاپس، ژوراسیک و کرتاسه بالایی نهشته شده‌اند (شکل ۱). عدسی‌های سنگ آهک نیز دیده می‌شوند که در بردارنده ریز فسیل‌های اوسن هستند. بر اساس بررسی‌های دیرینه‌شناسی از سنگ آهک و مارن، ریز فسیل‌های Nummulites sp. Assilina sp. Operculina sp. Discocyclina sp. Cuvillerina sp. با سن اوسن شناسایی شده‌اند [۳۱]. به تدریج و به‌سمت بالا روی سنگ‌های رسوبی، واحدهای آتشفسانی ظاهر شده‌اند.

فراورده‌های آتشفسانی اوسن منطقه بررسی شده شامل گدازه‌ها و نهشته‌های ولکانوکلاستیک با ترکیب بازیک-حدواسط و اسیدی هستند که به صورتی متناوب و در ۴ مرحله بیرون ریخته شده‌اند. سنگ‌های آتشفسانی بازیک-حدواسط و آتشفسانی اسیدی هر یک در ۲ مرحله بیرون ریخته‌اند. بنابراین واحدهای آتشفسانی اوسن در باخته سه چنگی را می‌توان در چهار واحد اصلی از قاعده به‌سمت بالا دسته‌بندی کرد (شکل ۲). واحد آتشفسانی بازیک-حدواسط زیرین به‌طور عمدۀ در بردارنده توف سیزرنگ و برش در قاعده (شکل ۳ آ) است که به‌سمت بالای واحد به توف فروزن قرمز رنگ و هیالوکلاستیت و سپس گدازه تبدیل می‌شود (شکل ۳ ب). به‌سمت شمال پاسگاه نیروی انتظامی (شکل ۱)، توف فروزن و هیالوکلاستیت دیده نشد و این واحد شامل تناوبی از برش و توف در قاعده و گدازه در بالای توفی آتشفسانی است (شکل ۳ پ و ت). گدازه‌ها در این واحد دارای ترکیب بازالت، آندزیت بازالتی، آندزیت-ترکیبی آندزیت هستند. با توجه به ترکیب پتروگرافی گدازه و برش، این واحد در این مقاله به‌نام واحد آتشفسانی بازیک-

حدواسط زیرین نامیده شده است. روی این واحد، گدازه‌ها و سنگ‌های پیروکلاستیک با ترکیب داسیتی-ریولیتی نهشته شده‌اند (شکل ۲)، که در این مقاله با عنوان واحد آتشفشاری اسیدی زیرین نامیده شده‌اند. روی این واحد، روانه‌های با ترکیب تراکی آندزیتی و به‌مقدار ناچیز آندزیتی نهشته شده‌اند که در این مقاله با عنوان واحد آتشفشاری حدواسط بالایی از سایر واحدهای آتشفشاری متمایز شده‌اند. چهارمین و جوانترین واحد آتشفشاری اوسن شامل گدازه‌ها و سنگ‌های پیروکلاستیک با ترکیب داسیتی-ریولیتی است که به عنوان واحد آتشفشاری اسیدی بالایی معرفی شده است.



شکل ۲. موقعیت چینه‌نگاری شماتیک واحدهای اصلی از سنگ‌های آتشفشاری-رسوبی و آتشفشاری باختر سه-چنگی را نشان می‌دهد. این واحدها روی سنگ‌های رسوبی مژوزوئیک با ناپیوستگی هم‌شیب نهشته شده و گدازه‌های آتشفشاری الیگوسن نیز با ناپیوستگی هم‌شیب روی آن‌ها نهشته شده‌اند.



شکل ۳. آ) گدازه آندزیت بازالتی در بالا و توف سبز در پایین توالی آتشفسانی، جنوب باختری آب انبار شماره ۸ (شکل ۱)، نگاه به سوی جنوب باختر، ب) تناوب برش و توف، توف فروزن، و گدازه آندزیت بازالتی، شمال سه چنگی، نگاه رو به شمال باختر، پ) برش و توف در قاعده و گدازه تراکی آندزیتی در بالا، باختر آب انبار شماره ۸، ت) برش که توسط خرددهای آتشفسانی و کربناته در برگرفته شده است. بخش سفیدرنگ شوره نمکی است. باختر آب انبار شماره ۸، ث) چشم اندازی از روانه های تراکی آندزیتی از واحد حدواسط بالایی، باختر دکل مخابراتی سه چنگی، نگاه رو به خاور، ج) چشم اندازی نزدیک تر از واحد اسیدی بالایی که روی گدازه های تراکی آندزیتی واحد حدواسط بالایی نهشته شده اند، چ) دایک ریولیتی که واحد اسیدی بالایی را در دکل مخابراتی سه چنگی قطع کرده است. این عکس ها با نگاه رو به شمال برداشته شد، ح) گدازه های تراکی آندزیتی آمفیبولدار الیگوسن را در شمال پاسگاه انتظامی (شکل ۱) نشان می دهد که روی سطح فرسایشی گدازه های آندزیتی بازالتی اثوسن نهشته شده اند. این عکس با نگاه رو به شمال باختر برداشته شد.

از نکات جالب توجه در صحراء، شبیب ناچیز لایه‌های پیروکلاستیک در واحد آتشفشاری اسیدی بالایی است (کمتر از ۱۰ درجه رو به شمال، شکل ۳ ث). در حالی که شبیب میان لایه‌های توف در واحدهای زیرین گاه به بیش از ۳۰ درجه نیز رسیده است (شکل ۳ ج). علاوه بر این گدازه‌ها و سنگ‌های پیروکلاستیک داسیتی-ریولیتی واحد اسیدی بالایی روی سطح فرسایش یافته گدازه‌های تراکی آندزیتی از واحد حدواسط بالایی نهشته شده‌اند (شکل ۳ ث و ج). با توجه به شواهد صحراوی نوشته شده در بالا می‌توان حدس زد که واحد آتشفشاری اسیدی بالایی با یک وقفه زمانی روی واحدهای قدیمی‌تر اوسن نهشته شده است. بدین ترتیب می‌توان واحد آتشفشاری بازیک-حدواسط زیرین، گدازه‌های داسیتی-ریولیتی و سنگ‌های پیروکلاستیک واحد اسیدی زیرین، گدازه‌های تراکی آندزیتی واحد حدواسط بالایی را قابل مقایسه با گروه نخست از سنگ‌های آتشفشاری اوسن (دسته‌بندی بهوسیله کلابور و همکاران [۲۲]) در ناحیه نای‌بندان دانست (شکل ۲). گدازه‌ها و پیروکلاستیک‌های واحد آتشفشاری اسیدی بالایی نیز قابل مقایسه با گروه جوان‌تر از دسته‌بندی سنگ‌های آتشفشاری اوسن بهوسیله کلابور و همکاران [۲۲] در ناحیه نای‌بندان هستند (شکل ۲).

در محل دکل مخابراتی سه چنگی، واحد آتشفشاری داسیتی-ریولیتی بالایی بهوسیله دایک‌های کم ضخامت با ترکیب ریولیتی قطع شده‌اند اما گدازه‌های الیگوسن را قطع نکرده‌اند (شکل ۳ ج). همچنین در شمال پاسگاه نیروی انتظامی (شکل ۱) نیز گدازه‌های تراکی آندزیتی آمفیبولدار الیگوسن به صورت شبه منشوری و با ناپیوستگی هم‌شیب روی سطح فرسایشی گدازه‌های آندزیتی بازالتی اوسن دیده می‌شوند (شکل ۳ ح) که قابل مقایسه با ناپیوستگی هم‌شیب بین گدازه‌های اوسن و الیگوسن در ناحیه نای‌بندان است که بهوسیله اشتوكلین و نبوی [۲۹] گزارش شده است (شکل ۲).

گدازه‌های آتشفشاری واحد بازیک-حدواسط زیرین به دو صورت گدازه‌ای جریانی و هیالوکلاستیت ظاهر شده‌اند. در انواع هیالوکلاستیت قطعه‌های نیمه‌گرد و نسبتاً سالم در مرکز بهوسیله پوسته‌های متحدم‌المرکز دربر گرفته شده‌اند (شکل ۴ الف) که کانی‌های آن هیدراته و دگرسان شده‌اند. مابین قطعه‌های نیمه‌گرد، خرده‌های قطعه‌های آتشفشاری و کربناته یافت شده‌اند. هیالوکلاستیتها حفره دارند و حفره‌های آن‌ها اغلب بهوسیله کلریت، اپیدوت و کلسیت پر شده‌اند. در مقایسه، گدازه‌های جریانی این واحد حفره کمی دارند. با توجه به این موضوع و با توجه به وجود توف و برش سبز رنگ (شکل ۳ الف، ب، پ و ت)، هیالوکلاستیت و توف فروزن (شکل ۳ ب) در واحد آتشفشاری بازیک-حدواسط زیرین، می‌توان گفت که هیالوکلاستیتها در محیط زیرآبی (قاعده واحد) و گدازه‌ها در شرایط خشکی (بالای واحد) سرد شده‌اند. واحد اسیدی زیرین، به طور عمده دربر دارنده گدازه‌های ریولیتی و داسیتی است. پهنه‌های ایگنمبریتی نیز دیده می‌شوند. بخش زیرین این واحد از انواع توف و برش اسیدی تشکیل شده است. برش هیبریدی نیز بخش قابل توجهی از میانه این واحد را به خود اختصاص داده است. ایگنمبریت دربر دارنده فیام و پسودوفیام است.

روی زمین می‌توان شواهد متعددی از آمیختگی ماقمایی را در گدازه‌های واحد بازیک-حدواسط زیرین و گدازه‌ها و ایگنمبریت‌های واحد اسیدی زیرین یافت. زبانه‌هایی از ماقمای اسیدی روشن رنگ به درون بخش‌های آندزیتی-تراکی-آندزیتی نفوذ کرده (و بالعکس) که می‌توان با آمیختگی ماقمایی توجیه کرد (شکل ۴ ب). همبrijی بین پسودوفیام‌های تراکی آندزیتی-آندزیتی پورفیریک و خمیره اسیدی در ایگنمبریت به صورت بین انگشتی است (شکل ۴ پ) که نشان

می‌دهد که آمیختگی ماقمایی در شرایط گرم صورت گرفته است. قطعه‌های آندزیتی در ایگنمریت (شکل ۴ ت) و ریولیت (شکل ۴ ث) که به وسیلهٔ خمیره اسیدی دربر گرفته شده‌اند، نشانهٔ دیگری از آمیختگی ماقمایی هستند. به‌نظر می‌رسد که بعضی از قطعه‌های حدواسط هنگام مواجه با گدازه اسیدی داغ حالت نیمه جامد داشته‌اند.



شکل ۴. آ) هیالوکلاستیت از واحد بازیک-حدواسط زیرین را نشان می‌دهد، ب) نمایی نزدیک از آمیختگی ماقمایی در واحد اسیدی زیرین که بخش‌های با ترکیب آندزیتی-تراکی آندزیتی و ریولیتی با هم بری بین انگشتی در کنار هم قرار گرفته‌اند، پ) پسودوفیام‌های آندزیتی-تراکی آندزیتی پورفیریک که در ایگنمریت واحد اسیدی زیرین دیده می‌شوند، ت) سایه-فسار کاذب را در حاشیه یک قطعه آندزیتی در درون ایگنمریت واحد اسیدی زیرین را نشان می‌دهد، ث) قطعه آندزیتی با حاشیه بین انگشتی در ریولیت واحد اسیدی زیرین دیده می‌شود، ج) چین خوردگی ویسکوز در گدازه‌های داسیتی-ریولیتی را نشان می‌دهد.

به‌طوری که حاشیهٔ خارجی بعضی از این قطعه‌ها سایه-فسار کاذب نشان داده و فیام‌ها و پسودوفیام‌ها نیز از شکل خارجی این قطعه‌ها تبعیت کرده‌اند (شکل ۴ ت). گاهی نیز این قطعه‌ها در میان خمیره اسیدی به تله افتاده‌اند (شکل ۴ ث) و آن‌ها نیز به‌نوبهٔ خود در میان خمیره حدواسط دیگری جای گرفته‌اند. به‌دلیل ویسکوزیتی بالای ماقمای

اسیدی، بعضی از گدازه‌های ریولیتی چین‌خوردگی‌های زیبایی را نشان می‌دهند که می‌توان به چین‌خوردگی در اثر جریان ماغمای اسیدی و ویسکوز نسبت داد (شکل ۳ ج).

واحد آتشفشاری حدواسط بالایی بیشتر از گدازه‌های تراکی آندزیتی جریانی تشکیل شده است. برخلاف واحد بازیک-حدواسط زیرین، در این واحد گدازه بازالتی یافت نشد. شاید بتوان گفت که این گدازه‌ها حاصل تفریق ماغمای بازیکی بوده‌اند که واحد بازیک-حدواسط زیرین را نیز تغذیه کرده است. گدازه‌ها و ولکانوکلاستیک‌های با ترکیب اسیدی بالایی بیشتر پیروکلاستیک بوده است و از ایگنمبریت، توف، برش و گاهی گدازه ریولیتی تشکیل شده‌اند. فراوانی ایگنمبریت، انواع توف و برش در واحدهای اسیدی زیرین و بالایی را می‌توان با فوران‌های انفجاری مقایسه کرد که به صورت ریتمیک در منطقه رخ داده است. با توجه به نبود توف‌های سبز در این واحدها، به‌نظر می‌رسد که فوران‌های آتشفشاری مربوط به آن‌ها در محیط خشکی روی داده است.

چنان‌که در بالا نوشته شد، در بررسی‌های دیرینه‌شناسی از سنگ آهک و مارن رخنمون یافته در بخش زیرین سنگ‌های آتشفشاری منطقه بررسی شده، ریزفسیل‌های ائوسن شناسایی شدند. تعیین سن به‌روش پتاسیم/آرگن یک نمونه سنگ پیروکلاستیک در امتداد گسل نای‌بندان واقع در باختر منطقه بررسی شده، سن ائوسن  $49,4 \pm 2,5$  میلیون سال) به‌دست آمده است [۲۲]. تعیین سن به‌روش آرگن/آرگن از یک نمونه گدازه آندزیتی در جنوب دیهوک که روی سنگ‌های آتشفشاری بررسی شده ریخته شده‌اند، سن الیگوسن تحتانی ( $38,4 \pm 0,3$  میلیون سال) به‌دست آمده است [۱۷]. بنابراین براساس داده‌های دیرینه‌شناسی و سن‌سنجی ایزوتوپی موجود می‌توان انتظار داشت که سنگ‌های آتشفشاری منطقه بررسی شده در بازه زمانی ائوسن فوران یافته‌اند.

## سنگ‌شناسی

چنان‌که در فصل زمین‌شناسی نوشته شد، سنگ‌های آتشفشاری ائوسن در باختر سه‌چنگی دارای ترکیب متنوع بازیک-حدواسط تا اسیدی هستند. بر اساس پژوهش‌های پتروگرافی، سنگ‌های آتشفشاری ائوسن در باختر سه‌چنگی را می‌توان در پنج گروه اصلی بازالت-بازالتیک آندزیت، تراکی آندزیت، تراکی داسیت، داسیت و ریولیت دسته‌بندی کرد. بعضی از این گروه‌ها دربردارنده زیرگروه‌های دیگری هستند.

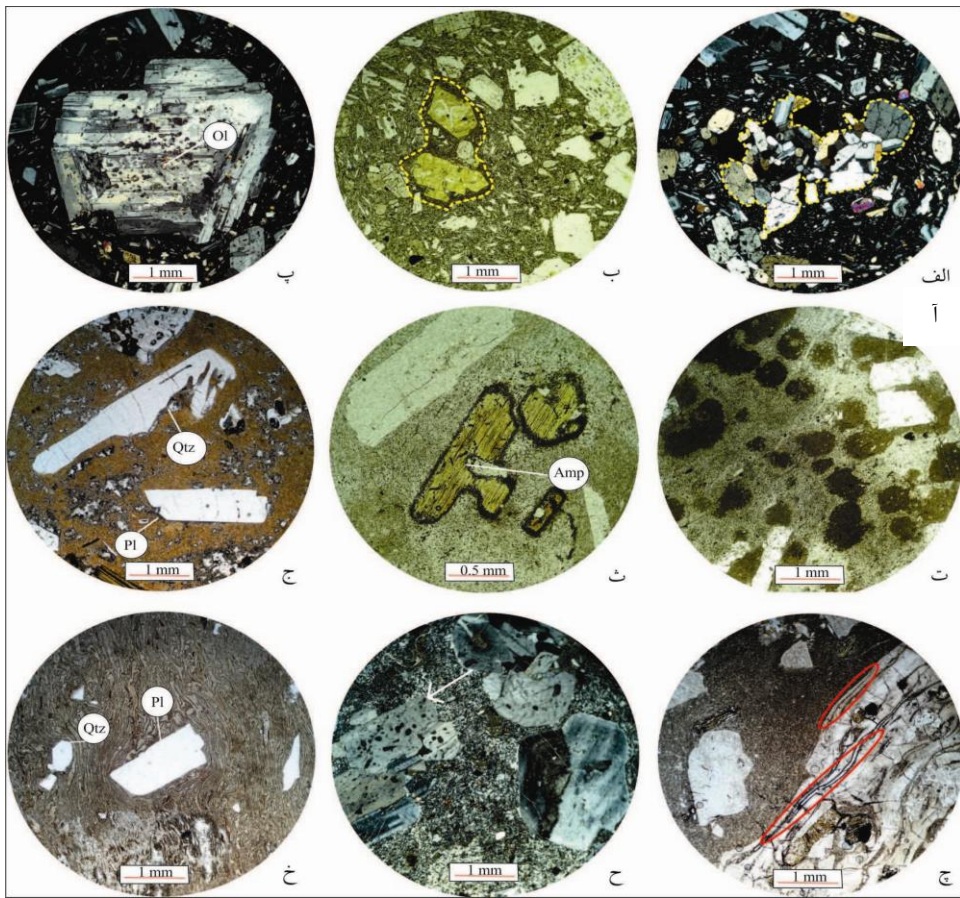
گدازه‌های بازالتی-بازالتیک آندزیتی اغلب در واحد بازیک-حدواسط زیرین یافت شدن (شکل ۲). این گدازه‌ها دارای بافت پورفیریک بوده و دربردارنده پسودومورف‌های الیوین، پلازیوکلاز و اوژیت هستند. فنوکریستهای پراکنده و ناچیز از هورنبلاند و بیوتیت با حاشیه اتحلال یافته نیز در آن‌ها یافت شدند. خمیره از بلورهای ریز همین کانی‌ها تشکیل شده است.

گدازه‌های تراکی آندزیتی را می‌توان در چهار زیرگروه: تراکی آندزیت پیروکسن‌دار، تراکی آندزیت آمفیبول‌دار، تراکی آندزیت جریانی و تراکی آندزیت دسته‌بندی کرد. بافت گدازه‌های تراکی آندزیتی پیروکسن‌دار و تراکی آندزیتی آمفیبول‌دار پورفیریک است. در این گدازه‌ها، انبوهه‌هایی از اوژیت و پلازیوکلاز با بافت کومولوفیری دیده می‌شوند (شکل ۵ آ). همچنین در این گدازه‌ها میکروآنکلاوهایی با حاشیه واکنشی ظریف یافت شدند که دربر دارنده فنوکریستهای اوژیت و الیوین سرپانتینیزه هستند (شکل ۵ ب). این احتمال وجود دارد که این انبوهه‌ها و

میکروآنکلاوها به صورت کومولیتی در کف و یا دیوارهای حجره ماقمایی تجمع یافته‌اند و سپس در اثر جریان‌های هم‌رفتی از کف حجره ماقمایی کنده شده و در اثر فوران‌های آتش‌فشانی به بیرون ریخته شده‌اند. بعضی از فنوکریستهای پلاژیوکلاز در گدازه‌های تراکی‌آندزیتی پیروکسن‌دار دارای انکلوزیون‌های الیوین هستند (شکل ۵ پ). در فنوکریستهای پلاژیوکلاز انکلوزیون‌های اوژیت و در فنوکریستهای اوژیت انکلوزیون‌های پلاژیوکلاز یافت شده‌اند. فنوکریستهای ناچیز ارتوبیروکسن که به صورت کانی فرعی در گدازه‌های تراکی‌آندزیتی پیروکسن‌دار یافت شده‌اند نیز دارای انکلوزیون‌های پلاژیوکلاز و آپاتیت هستند. گدازه‌های تراکی‌آندزیتی آمفیبول‌دار دارای خمیره ناهمگن هستند (شکل ۵ ت) که می‌توان با آمیختگی ماقمایی توجیه کرد [۳۲]. فنوکریستهای هورنبلاند و بیوتیت در گدازه‌های تراکی‌آندزیتی آمفیبول‌دار، دارای حاشیه اکسیده و خوردگی هستند (شکل ۵ ث) که علت آنکم شدن فشار در نتیجه صعود ماقما به سطح زمین و خروج گاز [۳۳]. مواجهه با اکسیژن هوا در هنگام فوران و یا افزایش دما و یا دیگر تغییرات شرایط فیزیکوشیمیایی مانند تغییرات فشار آب نسبت داده شد [۳۵]. به باور دوگان و همکاران [۳۷] عدم تعادل در ماقما سبب خوردگی در حاشیه آمفیبول و بیوتیت و اکسیده شدن آن‌ها در گدازه‌های داسیتی و آندزیتی آناتولی در جنوب خاوری ترکیه شده است. تشکیل این گدازه‌ها نیز بهنوبه خود مرتبط با فرورانش تشخیص داده شدند. تخریب، ریزش و انحلال و خورده شدگی حاشیه بلورهای آمفیبول و بیوتیت به عنوان نشانه‌ای از عدم تعادل در اثر آمیختگی ماقمایی در بازالت‌ها و آندزیت‌های ایکیزی در شمال خاوری ترکیه تلقی شده است [۳۸]. به باور کسکین و همکاران [۳۹] خوردگی در فنوکریستهای بیوتیت و آمفیبول در گدازه‌های بازالتی تا ریولیتی شمال و مرکز ترکیه در اثر عدم توازن و آمیختگی ماقمایی رخ داده است. گائو و همکاران [۴۰]، ضمن بررسی داسیت‌های کواترنری منطقه آتش‌فشانی تنگ چونگ در جنوب خاوری فلات تبت، این پدیده را به آمیختگی ماقماهای بازیک و فلزیک نسبت داده‌اند. تراکی‌آندزیت جریانی فاقد فنوکریست بوده است و خمیره میکرولیتیک جریانی دارند. در گدازه‌های تراکی‌آندزیتی، خمیره میکروکریستالین است و فنوکریستهای اوژیت و هورنبلاند به ندرت دیده شدند.

در پژوهش‌های پتروگرافی، گدازه‌های تراکی‌داسیتی که در واحد اسیدی زیرین یافت شده‌اند را می‌توان در سه زیرگروه شامل: تراکی‌داسیت جریانی، تراکی‌داسیت هیبریدی و تراکی‌داسیت میکروکریستالین تقسیم کرد. تراکی‌داسیت جریانی دارای بافت پورفیریک با خمیره میکرولیتیک جریانی است. فنوکریستهای پلاژیوکلاز، سانیدین و بیوتیت در خمیره‌ای شیشه‌ای با تبلور مجدد دیده می‌شوند. این گدازه‌ها دربر دارنده کوارتز با حاشیه خلیجی هستند (شکل ۵ ج) که ممکن است طی صعود ماقما و در اثر برداشته شدن فشاراز روی ماقما ایجاد شده باشد [۴۱، ۴۲]. هم‌چنین بعضی از زنوكریستهای کوارتز در گدازه تراکی‌داسیتی دارای هاله واکنشی است و به وسیله بلورهای ریز بیوتیت احاطه شده‌اند. شاید بتوان این زنوكریستها را به عنوان رستیت در نظر گرفت که در اثر ذوب بخشی پوسته در درون ماقما به جا مانده‌اند.

تراکی‌داسیت-هیبریدی شکل ایگن‌مبریتی و بافت پورفیروکلاستیک دارد. در بردارنده فیام‌ها و پسودوفیام‌هایی به صورت رشت‌های نازک، عدسی شکل و یا نواری هستند. گاهی نیز چین خورده‌اند که ممکن است حاصل تفاوت در ویسکوزیتی ماقما و یا تفاوت در نوع بلورها بوده است [۴۳]. فیام‌های ظریف از جنس شیشه اسیدی هستند. پسودوفیام‌ها به عرض دهم میلی‌متر ترکیب تراکی‌آندزیتی پورفیریک دارند. بعضی از پسودوفیام‌ها نیز به صورت نوارهای



شکل ۵. آ) انبوه‌های کومولوفیری در گدازه تراکی آندزیتی پیروکسن دار (XPL-4X)، ب) میکروآنکلاوهای الیوین و پیروکسن دار با خمیره‌ای ریزبلور در تراکی آندزیت پیروکسن دار (PPL-4X)، پ) میانبارهای الیوین در فنوکریست پلازیوکلاز در تراکی آندزیت پیروکسن دار (XPL-4X)، ت) خمیره شیشه‌ای نامتجانس در گدازه تراکی آندزیتی آمفیبیول دار (PPL-4X)، ث) خوردگی و انحلال در فنوکریست هورنبلاند با حاشیه اکسیده در گدازه تراکی آندزیتی آمفیبیول دار (PPL-10X)، ج) فنوکریست کوارتز با خوردگی‌های خلیجی در ریولیت پورفیریک (PPL-4X)، ج) فیامها و پسودوفیامها را در تراکی داسیت هیبریدی نشان می‌دهد که از اطراف توسط کانی‌های اپک احاطه شده‌اند. نیمه بالایی تصویر پسودوفیام آندزیتی-تراکی آندزیتی پورفیریک است (PPL-4X)، ح) بافت اسفنجی در فنوکریست پلازیوکلاز در گدازه تراکی داسیت میکروکریستالین (XPL-4X). خ) بافت اوتاکسیتی را در ریولیت واحد اسیدی زیرین نشان می‌دهد (PPL-4X).

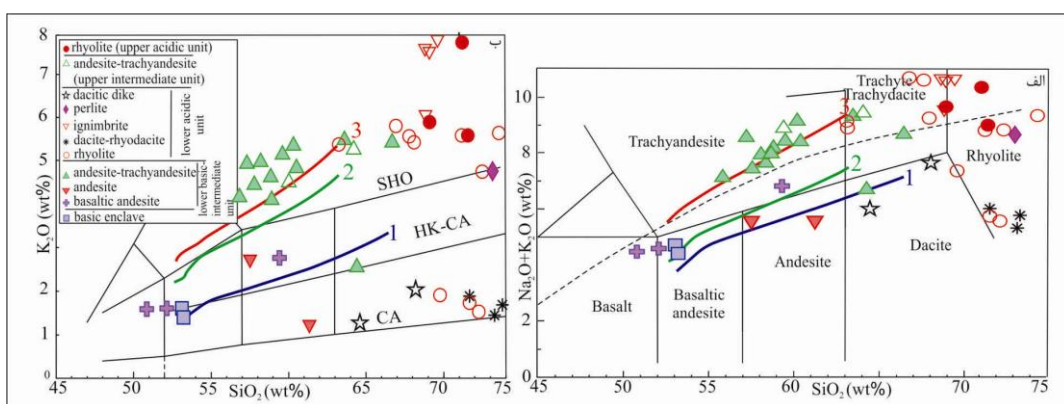
ظریفی دیده می‌شوند که در مرکز به وسیله کوارتز و فلدسپار پرشده ولی از حاشیه اکسیده شده‌اند (شکل ۵ ج). پسودوفیامها در بردارنده فنوکریست‌های پلازیوکلاز در خمیره‌ای میکرولیتیک و هیالومیکرولیتیک هستند. وجود پسودوفیام‌های با ترکیب آندزیتی در میان خمیره‌ای اسیدی را شاید بتوان با پدیده آمیختگی ماغمای ریولیتی با ماغمای تراکی آندزیتی توجیه کرد. در گدازه‌های تراکی آندزیتی، تراکی داسیتی و داسیتی فنوکریست‌های پلازیوکلاز با بافت‌های اسفنجی و الکی فراوانند (شکل ۵ ح). بعضی از مؤلفان این بافت‌ها را به عنوان شاهد پتروگرافی آمیختگی ماغمایی در نظر گرفته‌اند [۳۲، [۳۴، [۴۱، [۴۴]. نلسون و مونتانا [۴۵] نیز تشکیل این نوع پلازیوکلاز را به کاهش فشار از روی حجره ماغمایی، طی صعود ماغما و فوران آن در سطح زمین نسبت داده‌اند.

گدازه‌های ریولیتی در واحد اسیدی زیرین فراوانند. این گدازه‌ها دارای بافت اوتاکسیتی جریانی (شکل ۵ خ) و هم‌چنین بافت پورفیریک و گلومروفیریک با خمیره شیشه‌ای تبلور دوباره یافته هستند. در این گدازه‌ها فنوکریستهای پلاژیوکلاز هم به صورت منفرد و هم به صورت گلومروفیریت همراه با بلورهای درشت بیوتیت دیده می‌شوند. گدازه‌های ریولیتی واحد اسیدی بالایی دارای بافت پورفیریک با خمیره میکروکریستالین هستند. فنوکریستهای کوارتز، آلالی فلدسپار و بیوتیت نیز دیده می‌شوند. در مقاطع میکروسکوپی ریولیت‌ها نیز بلورهای بیگانه آمفیبول و پیروکسن دیده می‌شوند. همانند گدازه‌های تراکی آندزیتی پیروکسن‌دار در واحد بازیک-حدواسط زیرین، گدازه‌های ریولیتی واحد اسیدی بالایی نیز در بردارنده میکروآنکلاوهایی هستند که دربر دارنده پسودومورف‌های الیوین و اوژیت در خمیره‌ای ریز و غیرقابل تشخیص‌اند. ممکن است که این میکروآنکلاوهایی از یک منبع گوشه‌ای و یا از کف حجره ماقمایی کنده شده‌اند. برپایه پژوهش‌های پتروگرافی، آپاتیت کانی فرعی در غالب گدازه‌های بررسی شده است. در مواردی اسفن، زیرکن، سوزن‌های ظرفی سانیدین و سرپانتین، و بیوتیت ریز نیز دیده می‌شوند. کانی‌های اپاک نیز در خمیره پراکنده‌اند. الیوین در غالب موارد به ایدنگزیت و سرپانتین، و سریسیت جانشین شده‌اند. بر اساس پژوهش‌های آلالی فلدسپار و پلاژیوکلاز نیز توسط کانی‌های رسی، آلبیت و سریسیت جانشین شده‌اند. بر اساس پژوهش‌های پتروگرافی، توف‌ها از نوع لیتیک توف و ویتریک کریستال توف هستند. بافت غالب در آن‌ها لیتوکلاستیک، ویتروکلاستیک-کریستالوکلاستیک است.

### ژئوشیمی

در این بخش ابتدا دسته‌بندی ژئوشیمیایی سنگ‌های آتشفسانی و سپس نمودارهای دوتایی و نقش تفریق ماقمایی، الگوهای عناصر نادر و کمیاب، نمودارهای عنکبوتی و هم‌چنین منشأ سنگ‌های آتشفسانی مورد مطالعه بررسی می‌شوند.

دسته‌بندی ژئوشیمیایی سنگ‌های آتشفسانی بررسی شده: در نمودار نام‌گذاری نسبت  $\text{Na}_2\text{O}+\text{K}_2\text{O}$  به  $\text{SiO}_2$  به از [۴۶]، سنگ‌های آتشفسانی با ختر سه چنگی در در قلمروهای بازالت، بازالتیک آندزیت، تراکی آندزیت، داسیت، تراکیت-تراکی داسیت و ریولیت جای گرفته و دارای روند‌های ماقمایی ساب‌آلکالن و آلالکالن هستند (شکل ۶ آ). این سنگ‌ها دارای مقادیر بالایی از  $\text{K}_2\text{O}$  ( $1/21\%-7/9\% \text{ wt\%}$ ) بوده است و در نمودار نسبت  $\text{K}_2\text{O}$  به  $\text{SiO}_2$  (شکل ۶ ب) اقتباس از [۴۷] به ترتیب روندهای ماقمایی شوشنونیتی، کالک‌آلکالن پتابسیم بالا و کالک‌آلکالن را نشان می‌دهند. اکثر گدازه‌هایی که روند شوشنونیتی را نشان می‌دهند ترکیب اسیدی و تراکی آندزیتی دارند.



شکل ۶. الف) نمودار الف نشان‌دهنده مرز ساب‌آلکالن و آلالکالن از [۴۶] ب) نمودار  $\text{Na}_2\text{O}+\text{K}_2\text{O}$  به  $\text{SiO}_2$  از [۴۷] را نشان می‌دهد. خط‌چین در نمودار الف نشان‌دهنده مرز ساب‌آلکالن و آلالکالن از [۴۸] اقتباس شده است. خطوط ۱، ۲، ۳ به ترتیب روندهای تبلور تفریقی را در سری‌های کالک‌آلکالن، کالک‌آلکالن پتابسیم بالا و شوشنونیتی نشان می‌دهند [۴۹].

## بحث

پژوهش‌های سنگ‌شناسی و بررسی نتایج تجزیه‌های شیمیایی نشان می‌دهد که سنگ‌های آتشفشاری در منطقه مورد بررسی طیف ترکیبی گستردگی از بازیک-حدواسط الی اسیدی را دربردارند. در این سنگ‌ها، تغییرات  $\text{SiO}_2$  از قطب بازیک-حدواسط به قطب اسیدی از  $50/83-75/4$  درصد وزنی در تغییر است (شکل ۶ آ). این سنگ‌ها در قلمروهای ماغمایی کالک الکالن، کالک الکالن پتاسیم بالا و شوشوونیتی (شکل ۶ ب) ترسیم شده‌اند که به نظر می‌رسد که همه سنگ‌های بررسی شده نمی‌توانند با یکدیگر رابطه ژنتیکی داشته باشند. به‌طور معمول تغییرات شیمیایی مربوط به فرایند تفریق ماغمایی منجر به تغییرات در یک سری ماغمایی می‌شود اما این فرایند نمی‌تواند همزمان ضمن افزایش پتاسیم سبب روندهای ماغمایی کالک الکالن، کالک الکالن پتاسیم بالا و شوشوونیتی شود. به عبارتی دیگر تفریق و تحول یک ماغمایی بازیک ساب الکالن منجر به ایجاد یک ماغمای شوشوونیتی نخواهد شد [۳۴، ۵۰]. بررسی داده‌های ژئوشیمیایی از منطقه بررسی شده نشان می‌دهد که منشأ این سنگ‌ها یکسان نبوده بلکه عوامل پترولوزی دیگری در تحول آن‌ها دخالت داشته‌اند. به‌طور مثال سنگ‌های اسیدی (داسیتی-ریولیتی) در قلمروی شوشوونیتی و کالک الکالن پتاسیم بالا و کالک الکالن تجمع یافته‌اند که تجمع آن‌ها در محدوده کالک الکالن را می‌توان با آمیختگی ماغمایی هم توجیه کرد. به علاوه سنگ‌های اسیدی در مقایسه با سنگ‌های بازیک-حدواسط در مقیاس گستردگی‌تری در صحراء برونزد دارند و نمی‌توان گستردگی آن‌ها را تنها با تفریق از یک ماغمای بازیک واحد توجیه کرد.

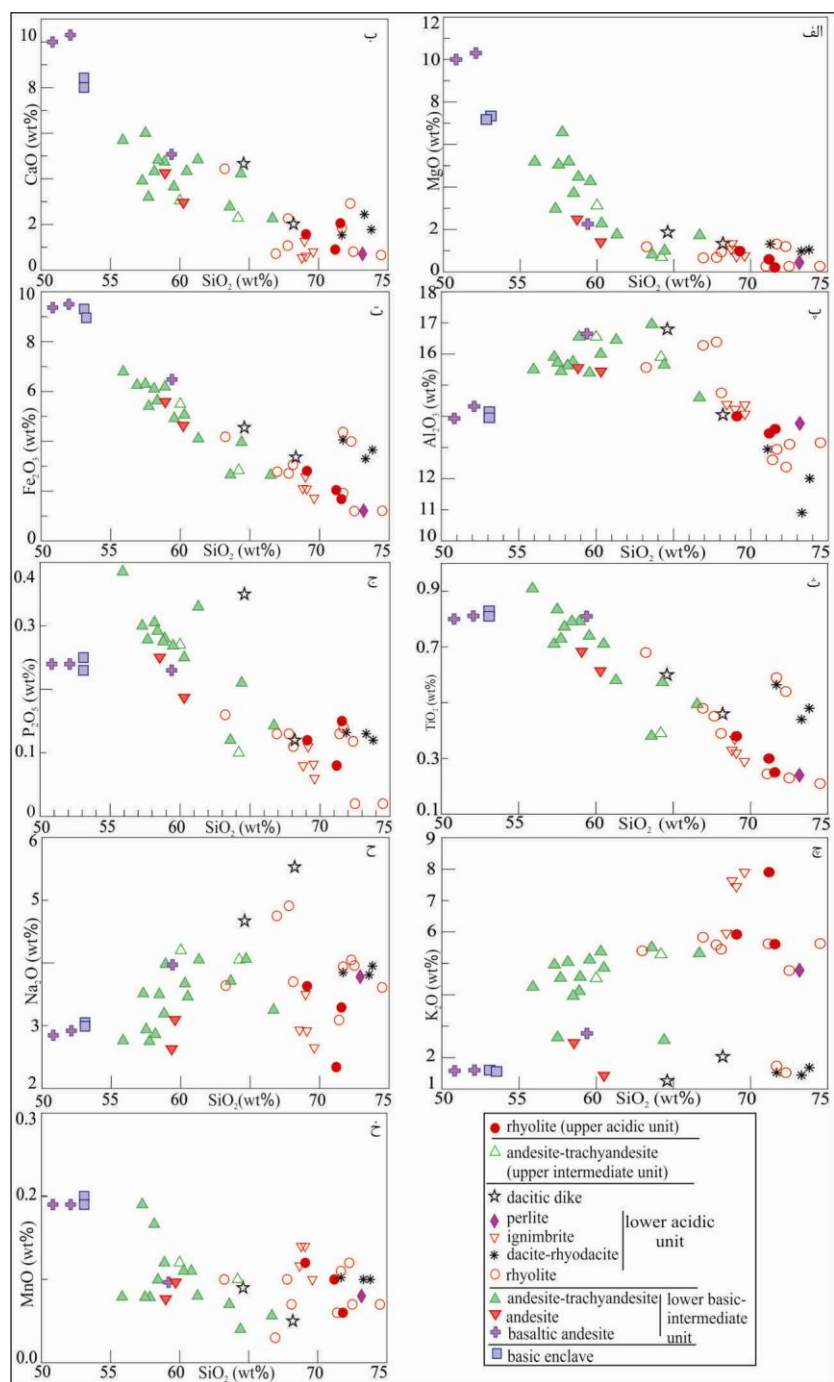
به‌منظور شناسایی عوامل مؤثر در تحولات ماغمایی سنگ‌های آتشفشاری باختر سه‌چنگی، از نمودارهای دوتایی تغییرات اکسیدهای اصلی و کمیاب نسبت به  $\text{SiO}_2$ . الگوهای عناصر نادر و نمودارهای عنکبوتی استفاده شد. نمودارهای تکتونوماگمایی و منشاء ماغماها هم در ادامه بررسی شدند.

**تغییرات عناصر اصلی و کمیاب نسبت به  $\text{SiO}_2$ :** با بررسی نحوه تغییرات عناصر نسبت به مقادیر  $\text{SiO}_2$  در نمودارهای دوتایی، می‌توان به نقش تحولات ماغمایی مانند تبلور تفریقی، ذوب‌بخشی، اختلاط و آلودگی ماغمایی، نقش مؤلفه‌های فرورانش و هضم سنگ‌های پوسته‌ای پی برد [۳۴، ۵۰]. در اغلب نمودارهای تغییرات دوتایی (شکل ۷ و ۸)، تغییرات از قطب بازیک به‌سمت اسیدی پیوسته نیست، بنابراین تحول تمام سنگ‌های آتشفشاری بررسی شده را نمی‌توان با تبلور تفریقی توجیه کرد. در اغلب نمودارهای دوتایی، نمونه‌های بازیک-حدواسط دارای چیدمان مرتب‌تری از قطب بازیک به‌سمت حدواسط هستند اما در نمونه‌های اسیدی پراکندگی دیده می‌شود. این پدیده نشان می‌دهد که تبلور تفریقی در تحولات ماغمایی نمونه‌های بازیک-حدواسط می‌توانست تا حدودی نقش داشته باشد. در برخی از نمودارهای تغییرات دوتایی (شکل ۷ و ۸)، سنگ‌های اسیدی از روند بقیه نمونه‌ها جدامانده‌اند که می‌تواند نشانگر منشأ متفاوت سنگ‌های اسیدی تلقی شود. در نمودارهای دوتایی تغییرات  $\text{SiO}_2$  با مقادیر  $\text{CaO}$ ,  $\text{MgO}$ ,  $\text{FeO}$ ,  $\text{V}$ ,  $\text{Nb}$ ,  $\text{Zr}$ ,  $\text{Th}$ ,  $\text{Yb}$ ,  $\text{MnO}$ ,  $\text{Fe}_2\text{O}_3$ ,  $\text{Pb}$  روند عمومی کاهشی دیده می‌شوند. در نمودارهای تغییرات  $\text{SiO}_2$  با مقادیر  $\text{Ni}$ , نمونه‌های بازیک دارای مقادیر بالاتری بوده است و از بقیه گدازه‌ها دورتر ترسیم شده‌اند. افزایش این عنصر از نمونه‌های حدواسط به قطب اسیدی با افزایش ملایمی همراه است. در نمودارهای تغییرات  $\text{SiO}_2$  با مقادیر  $\text{Al}_2\text{O}_3$ ,  $\text{TiO}_2$ ,  $\text{Sr}$ ,  $\text{P}_2\text{O}_5$ ,  $\text{Zr}$ ، از سمت نمونه‌های بازیک به‌سمت نمونه‌های حدواسط یک روند ملایم افزایشی دارد اما در نمونه‌های اسیدی چیدمان آن‌ها

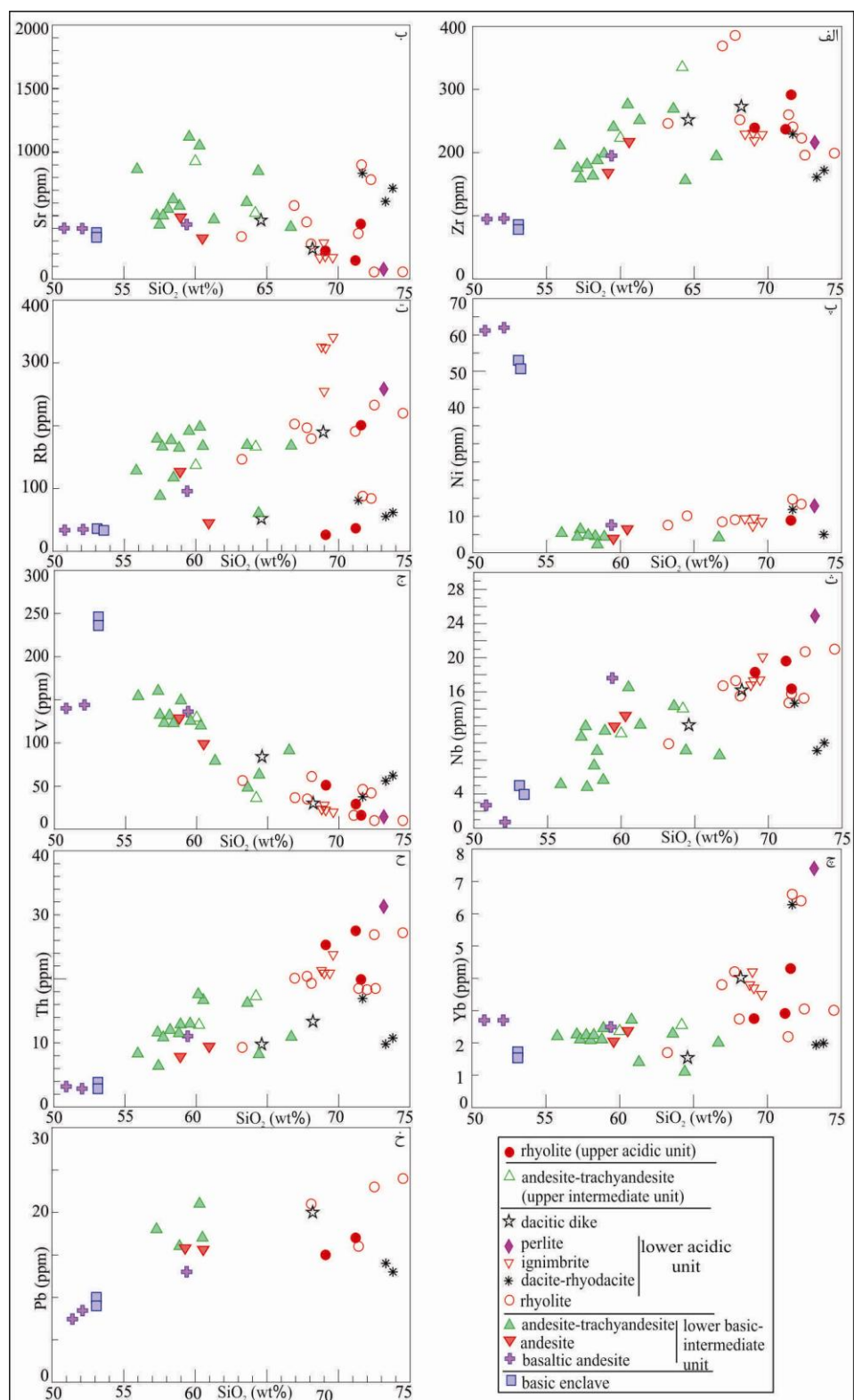
دارای روندی کاهاشی و متفاوت از نمونه‌های بازیک-حدواسط است. در نمودارهای تغییرات،  $\text{SiO}_2$  با مقادیر  $\text{K}_2\text{O}$ ,  $\text{Na}_2\text{O}$ ,  $\text{Rb}$ ,  $\text{Sr}$ , با افزایش  $\text{SiO}_2$  پراکندگی دیده می‌شود که می‌توان به دگرسانی نسبت داد. پراکندگی ارتباط مستقیمی با ترکیب پلاژیوکلاز و مقادیر متفاوت آلبیتی شدن در آن‌ها دارد که شواهد آن در بررسی‌های میکروسکوپی دیده شدند. در نمودارهای تغییرات مقادیر  $\text{P}_2\text{O}_5$ ,  $\text{TiO}_2$ ,  $\text{Al}_2\text{O}_3$ , افزایش ملایم این عناصر از قطب بازیک به‌سمت نمونه‌های حدواسط را می‌توان با جدایش آپاتیت، مگنتیت و پلاژیوکلاز توجیه کرد. روند افزایشی  $\text{CaO}$ ، از قطب بازیک به‌سمت حدواسط و سپس روند کاهاشی آن نتیجه فراوانی متغیر پلاژیوکلازها و ترکیب متغیر آن‌ها است. روند کاهاشی  $\text{CaO}$  به‌موازات افزایش  $\text{SiO}_2$  انعکاسی از جدایش کلینوپیروکسن و پلاژیوکلاز به‌خصوص در سنگ‌های آتشفشاری بازیک-حدواسط است. کاهش مقادیر  $\text{MgO}$ ,  $\text{MnO}$ ,  $\text{Fe}_2\text{O}_3$ , نیز با جدایش کلینوپیروکسن و آمفیبول در سنگ‌های بازیک-حدواسط و جدایش بیوتیت و اکسیدهای آهن-تیتان در سنگ‌های اسیدی قابل توجیه است. اگرچه روند تغییرات اکسیدهای اصلی و عناصر فرعی در نمودارهای دوتایی، فرایند تفریق در سنگ‌های بازیک-حدواسط را تأیید می‌کند اما به‌نظر می‌رسد که فرایندهای ماقمایی دیگری نیز در تحولات ماقمایی سنگ‌های منطقه نقش داشته‌اند. افزایش ناگهانی بعضی از عناصر مانند  $\text{Zr}$  و  $\text{Nb}$  در سنگ‌های اسیدی (شکل ۷) را نمی‌توان تنها با تبلور تفریقی تفسیر کرد مگر این‌که در مسیر تحول، کانی‌های فرعی مانند زیرکن، آپاتیت، مونازیت و آلانیت نقش داشته‌اند. این کانی‌ها نیز در سنگ‌های پوسته‌ای قاره‌ای بیش‌تر دیده می‌شوند [۵۰]. علاوه بر موارد نوشته شده در بالا، روند افزایشی عناصری مانند  $\text{Si}$ ,  $\text{Al}$ ,  $\text{Pb}$  و  $\text{Th}$  به‌خصوص در سنگ‌های اسیدی را نمی‌توان به‌سادگی با تفریق ماقمایی توجیه کرد و به‌نظر می‌رسد که فرایندهای ماقمایی دیگری چون آلایش پوسته‌ای نیز نقش داشته‌اند که شواهد پتروگرافی آن نیز مشاهده شدند. به‌علاوه بالا بودن نسبی عناصری مانند  $\text{Sr}$ ,  $\text{Rb}$ ,  $\text{Pb}$  در نمونه‌های حدواسط و تمایل شوشوئیتی آن‌ها ممکن است مربوط به منشأ گوشه‌های باشد که پیش از ذوب‌بخشی به‌وسیله مؤلفه‌های فرورانش دچار متسامراتیسم و غنی شده است [۵۱], [۵۲], [۵۳], [۵۴], [۵۵], [۵۶].

**الگوهای عناصر نادر و نمودارهای عنکبوتی:** الگوهای عناصر نادر خاکی به هنجار شده با مقادیر کندریت [۵۳] از گدازه‌های واحد بازیک-حدواسط زیرین (شکل ۹-الف)، گدازه‌های واحد اسیدی زیرین (شکل ۹-پ)، گدازه‌های واحد حدواسط بالایی (شکل ۹-ث) و گدازه‌های واحد اسیدی بالایی (شکل ۹-ج) نشان داده شدند. الگوهای میانگین پوسته بالایی، میانی و زیرین از [۵۷] اقتباس شده است.

نمودارهای عنکبوتی به هنجار شده با مقادیر گوشه‌های واحد بازیک-حدواسط زیرین (شکل ۹-ب)، گدازه‌های واحد اسیدی زیرین (شکل ۹-ت)، گدازه‌های واحد حدواسط بالایی (شکل ۹-ج) و گدازه‌های واحد اسیدی بالایی (شکل ۹-ح) نیز معرفی شدند. جهت مقایسه محدوده سنگ‌های آتشفشاری کمانی قاره‌ای،  $\text{OIB}$ ,  $\text{N}-\text{MORB}$  و  $\text{E-MORB}$  از [۵۶] اقتباس شده است.



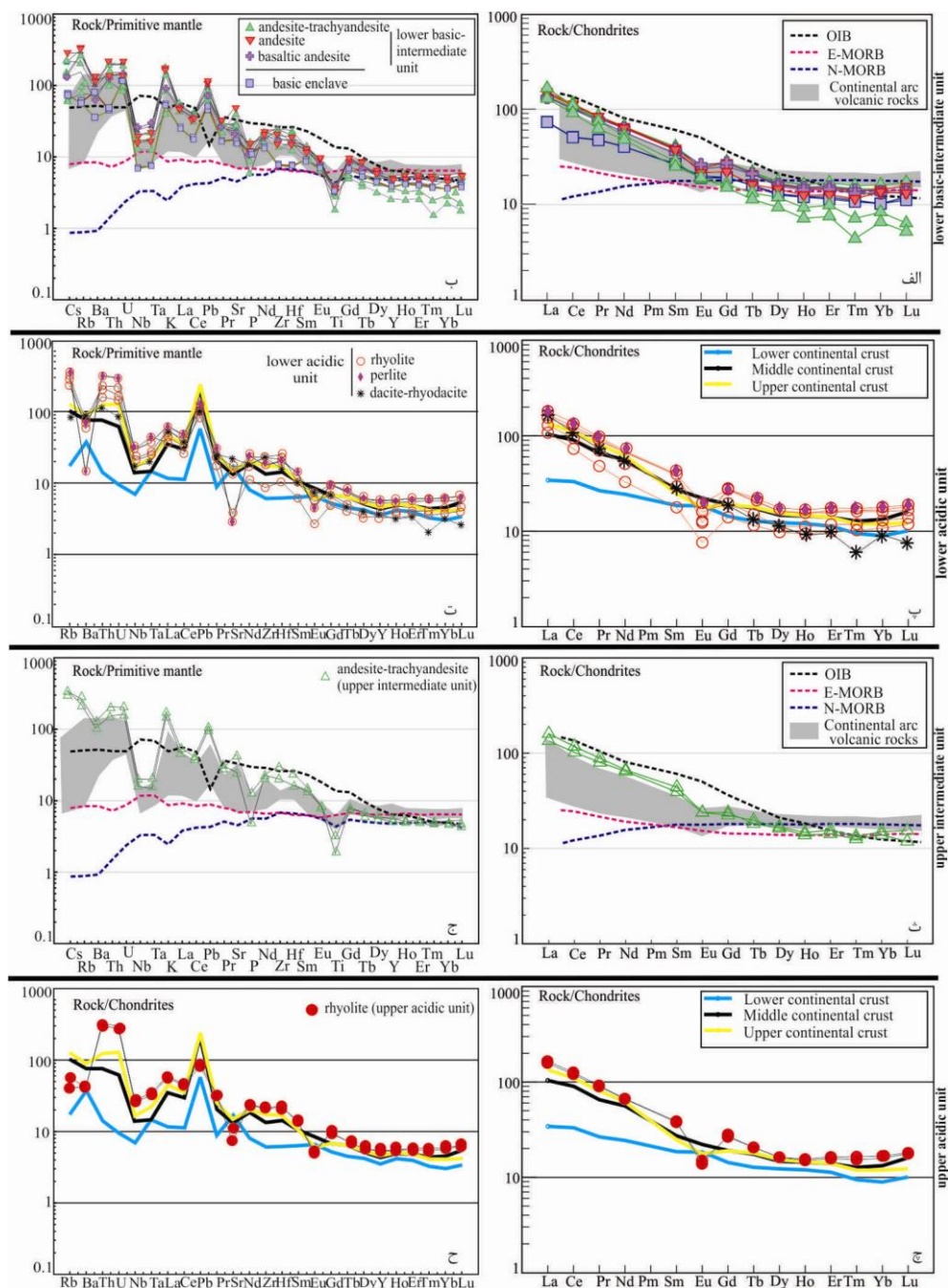
شکل ۷. نمودارهای دو تایی انتخابی از اکسیدهای اصلی نسبت به مقادیر  $\text{SiO}_2$



شکل ۸. نمودارهای دو تایی انتخابی از عناصر کمیاب نسبت به  $\text{SiO}_2$

الگوهای عناصر نادر خاکی به هنجار شده با مقادیر کندریت از گدازه‌های واحد بازیک-حدواسط زیرین (شکل ۹ آ) و گدازه‌های واحد حدواسط بالایی (شکل ۹ ث)، غنی‌شدگی از LREE در مقایسه با HREE نشان می‌دهند که از ویژگی‌های ماغماتیسم مناطق فرورانش است. این ویژگی ژئوشیمیایی نشان می‌دهد که گوشته تهی شده اولیه ممکن است تحت تأثیر مؤلفه‌های فرورانش (شامل سیالات و یا مذاب رها شده از ذوب‌بخشی صفحه فرورو) دچار متاسوماتیسم و از LREE غنی شده است [۱۷، [۴۹، [۵۰، [۵۱، [۵۴]. این گوشته متاسوماتیزه می‌تواند گوه گوشته‌ای در بالای صفحه فرورو و یا گوشته لیتوسفری زیر قاره در مناطق برخوردی قاره‌ای و یا پسابرخورد باشد که در منطقه بررسی شده با توجه باسته شدن نئوتیس در کرتاسه بالایی می‌تواند از نوع گوشته لیتوسفری زیر قاره باشد. گدازه‌های بازیک-حدواسط دارای غنی‌شدگی از مرتبه ۶۰ الی ۲۰۰ و گدازه‌های حدواسط بالایی دارای غنی‌شدگی از مرتبه ۵۰ الی ۲۰۰ از از LREE هستند (شکل ۹ آ و ث). در این واحدهای آتشفشاری، الگوهای عناصر نادر و کمیاب تهی‌شدگی خفیفی از Eu را نشان می‌دهند (شکل ۹ آ و ث) که می‌توان با جدایش فلدسپار طی تحولات ماغماتی توجیه کرد [۳۴، [۵۰، [۵۴]. تعداد چشم‌گیری از الگوهای عناصر نادر گدازه‌های بازیک-حدواسط واحد زیرین و گدازه‌های واحد حدواسط بالایی انتباطی قابل توجهی با الگوی میانگین OIB را دارند (شکل ۹ آ و ث). با وجود آن‌که الگوهای این نمونه‌ها (شکل ۹ آ و ث) از روند محدوده میانگین کمانی تبعیت می‌کنند اما دارای غنی‌شدگی بیش‌تر از LILE و LREE بوده است و تهی‌شدگی واضحی از عناصر Ti, Nb و Ta هستند. در عین حال نسبت Th/Yb در این گدازه‌ها بالا است (۴۵/۹-۱۱/۲). این شواهد حدس بالا را تقویت می‌کند که گوشته لیتوسفری زیر قاره که از ذوب‌بخشی آن ماغماتی گدازه‌های بازیک-حدواسط حاصل شده‌اند ممکن است که تحت تأثیر مؤلفه‌های پوسته‌ای قرار گرفته‌اند [۵۸، [۵۹، [۶۰، [۶۱]. تأثیر مؤلفه‌های پوسته‌ای ممکن است به دو شکل عمل کرده باشند. یا ماغماتی اولیه برآمده از گوشته لیتوسفری زیر قاره به درون پوسته نفوذ کرده [۵۴] و ضمن ذوب‌بخشی آن و ایجاد ماغماتی اسیدی با آن آمیخته شده است. یا این‌که ممکن است که گوشته لیتوسفری زیر قاره پیش از ذوب‌بخشی بهوسیله مؤلفه‌های فرورانشی (سیالات و مذاب) رها شده از صفحه اقیانوسی فرورو غنی شده باشد [۵۹، [۶۲، [۶۳]. در این الگوها تهی‌شدگی در میزان P دیده می‌شود که به جدایش آپاتیت نسبت داده می‌شود [۳۹، [۶۴]. الگوهای عناصر نادر و نمودارهای عنکبوتی از گدازه‌های اسیدی واحد آتشفشاری زیرین (شکل ۹ پ و ت) دارای شباهت‌های قابل توجه با الگوهای عناصر نادر و نمودارهای عنکبوتی گدازه‌های اسیدی بالایی (شکل ۹ چ و ح) هستند. در الگوهای عناصر نادر از این سنگ‌ها که با مقادیر کندریت به هنجار شده‌اند، غنی‌شدگی از مرتبه ۵۰ الی ۲۰۰ از LREE دیده می‌شود (شکل ۹ پ و چ).

الگوهای عناصر نادر از گدازه‌های اسیدی شکل قاشقی خفیفی را از Ho (MREE) به سمت Lu (HREE) نشان می‌دهند که با جدایش کلینوپیروکسن، هورنبلاند و تیتانیت قابل تفسیر است [۳۸]. در گدازه‌های اسیدی MREE نسبت به HREE دارای تهی‌شدگی است و الگوهای قاشقی شکل را نشان می‌دهند که می‌توان به حضور آمفیبیول در ترکیب گوشته نسبت داد. در نمودارهای عنکبوتی به هنجار شده با مقادیر گوشته اولیه [۵۳] از سنگ‌های واحدهای اسیدی زیرین و بالایی، غنی‌شدگی مشابهی در Ce, Th, Sr, K<sub>2</sub>O, Rb LILE (Ta, Nb, Ti, Zr) HFSE مانند



شکل ۹. الگوهای عناصر نادر خاکی بهنجار شده با مقادیر کندریت [۵۳] برای واحد آتشفسانی بازیک-حدواسط زیرین (آ)، واحد اسیدی زیرین، (پ) واحد آتشفسانی با ترکیب حدواسط بالایی، (ث) واحد اسیدی بالایی، (ج) را نشان می‌دهند. نمودارهای عنکبوتی بهنجار شده با مقادیر گوشته اولیه [۵۳]، برای واحد آتشفسانی بازیک-حدواسط زیرین، (ب) واحد اسیدی زیرین، (ت) واحد آتشفسانی حدواسط بالایی، (ج) و واحد اسیدی بالایی، (ح) را نشان می‌دهند. الگوهای سنگ‌های آتشفسانی کمانی قاره‌ای، OIB، E-MORB و N-MORB از [۵۶] و الگوهای میانگین پوسته زیرین، میانی و بالایی از [۵۷] اقتباس شده است.

دیده می‌شود (شکل ۹ ت و ح) که نشان می‌دهد که منبع ماقمایی آتشفسانی اسیدی باخته سه چنگی شباهت‌های قابل توجه دارند. در این نمودارها، سنگ‌های بررسی شده دارای غنی‌شدگی از LREE و LILE نسبت به

HFSE هستند و تهی‌شدگی واضحی از  $\text{Nb}$  و  $\text{Ta}$  نشان می‌دهند که از شواهد ولکانیسم مناطق فرورانش محسوب می‌شود. هم‌چنین در این گدازه‌ها غنی‌شدگی  $\text{Pb}$  را می‌توان به آلایش و ذوب‌بخشی پوسته نسبت داد [۵۲]. در گدازه‌های واحد اسیدی زیرین و بالایی (شکل ۱۰ ب، ت) نیز LILE و REE دارای غنی‌شدگی نسبت به HFSE هستند. تهی‌شدگی  $\text{Ba}$  را در این گدازه‌ها می‌توان به جدایش آلکالی فلدسپار و پلازیوکلаз نسبت داد [۶۵]. الگوهای عناصر نادر و نمودارهای عنکبوتی از واحد اسیدی زیرین (شکل ۹ پ و ت) و واحد اسیدی بالایی (شکل ۹ چ و ح) انطباق چشم‌گیری با الگوهای میانگین پوسته میانی و پوسته بالایی (۵۷) دارند که می‌تواند دلالت بر منشأ پوسته‌ای سنگ‌های اسیدی در منطقه بررسی شده را داشته باشد.

محیط تکتونوماگمایی سنگ‌های آتشفشانی ائوسن باختر سه‌چنگی: شکل ۱۰ نمودارهای تکتونوماگمایی انتخابی را نشان می‌دهد که نمونه‌های بازیک-حدواسط (شکل ۱۰ آ، ب) بر روی آن‌ها ترسیم شده‌اند. شکل ۱۰ آ بر اساس نسبت‌های  $\text{Th}/\text{Hf}$  و  $\text{Ta}/\text{Hf}$  در یک نمودار سه‌تایی به‌وسیله [۶۶] پیشنهاد شده است. مقادیر متوسط از پوسته بالایی (UC) و پوسته زیرین (LC) نیز از [۶۷] اقتباس شده است. در این نمودار گدازه‌های بازیک-حدواسط ائوسن باختر سه‌چنگی در قلمرو بازالت‌های کالک‌آلکالن و متمالی به مقدار میانگین پوسته بالایی جای گرفته‌اند. هم‌چنین در این نمودار، نمونه‌های بازیک-حدواسط در مجاورت میانگین پوسته بالایی و در راستای بردار فعل و انفعال ماگما-پوسته جای گرفته‌اند که تأیید ژئوشیمیایی آمیختگی ماگمایی است و شواهد زمین‌شناسی و پتروگرافی آن‌ها توصیف شدن. بازالت جزایر کمانی اقیانوسی دارای  $\text{Hf}/\text{Th} > 3$  است در حالی که بازالت کمانی قاره‌ای دارای نسبت  $\text{Hf}/\text{Th} < 3$  است [۶۶]. نسبت  $\text{Hf}/\text{Th}$  برای گدازه‌های بازیک-حدواسط بررسی شده بین (۰/۳۳-۰/۰) در تغییر است.

شکل ۱۰ آ بر اساس نسبت‌های  $\text{Th}/\text{Hf}$  و  $\text{Ta}/\text{Hf}$  در یک نمودار سه‌تایی توسط [۶۶] پیشنهاد شده است. مقادیر متوسط از پوسته بالایی (UC) و پوسته زیرین (LC) نیز از [۶۷] اقتباس شده است. در این نمودار گدازه‌های بازیک-حدواسط ائوسن باختر سه‌چنگی در قلمرو بازالت‌های کالک‌آلکالن و متمالی به مقدار میانگین پوسته بالایی جای گرفته‌اند.

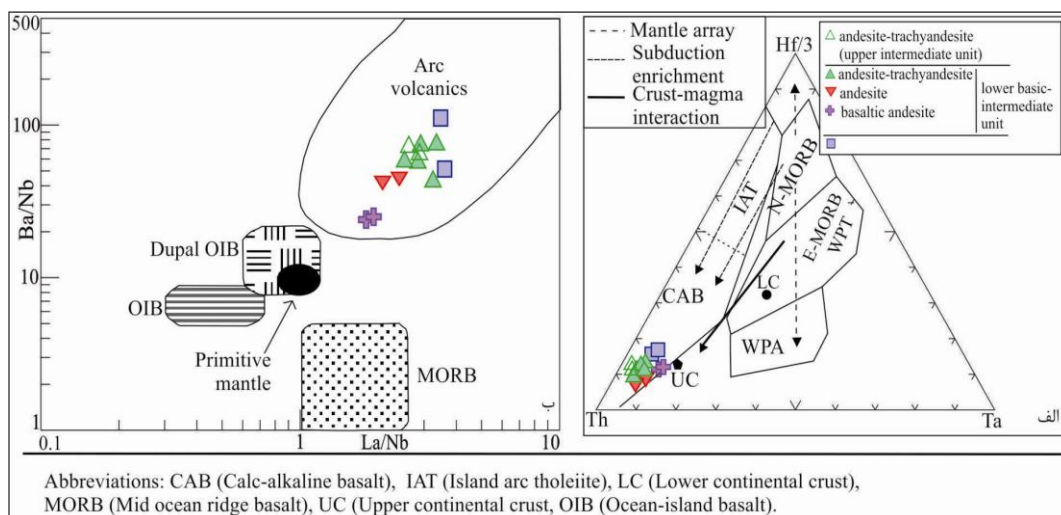
با توجه به این نسبت و نمودار ۱۰ آ، گدازه‌های بازیک-حدواسط منطقه بررسی شده را می‌توان معادل بازالت‌های کمان آتشفشانی قاره‌ای ولی از نوع تحول یافته آن دانست. نمودار اولیه از شکل ۱۰ ب، بر اساس تغییرات نسبت  $\text{La/Nb}$  و به‌وسیله جان و همکاران [۶۹] تعریف شد. سپس آیدینکاکر و همکاران [۷۰] با استفاده از پژوهش‌های انتشار یافته از سایر محققان آن را مانند شکل ۱۰ ب بازسازی کردند. در این نمودار قلمروهای کمان آتشفشانی، بازالت پشتی میان اقیانوسی، محدوده‌های بازالت جزایر اقیانوسی و گوشته اولیه معرفی شده‌اند ([۷۰] و منابع مورد استفاده در آن). در این نمودار نمونه‌های بازیک-حدواسط بررسی شده‌در قلمروی کمان آتشفشانی ترسیم شده‌اند. این گدازه‌ها مقادیر بالایی از  $\text{Ba}/\text{Nb} < 28$  (۱۱۱-۹۷/۲۳) را دارند که قابل مقایسه با گدازه‌های مناطق فرورانش هستند [۵۸].

منشأ گدازه‌های آتشفشانی باختر سه‌چنگی: شواهدی از قبیل مقدار بالای  $\text{SiO}_2$  (۵۰/۸۳-۷۵/۴ wt%) و مقدار نسبتاً زیاد  $\text{Al}_2\text{O}_3$  (۹۵/۱۶-۹/۱۰) حاکی از آن است که علاوه بر تفریق بلورین سنگ‌های آتشفشانی بازیک-حدواسط، ذوب‌بخشی پوسته قاره‌ای و ذوب‌بخشی مواد رسوبی فرورونده نیز ممکن است در تحولات ماگمایی منطقه

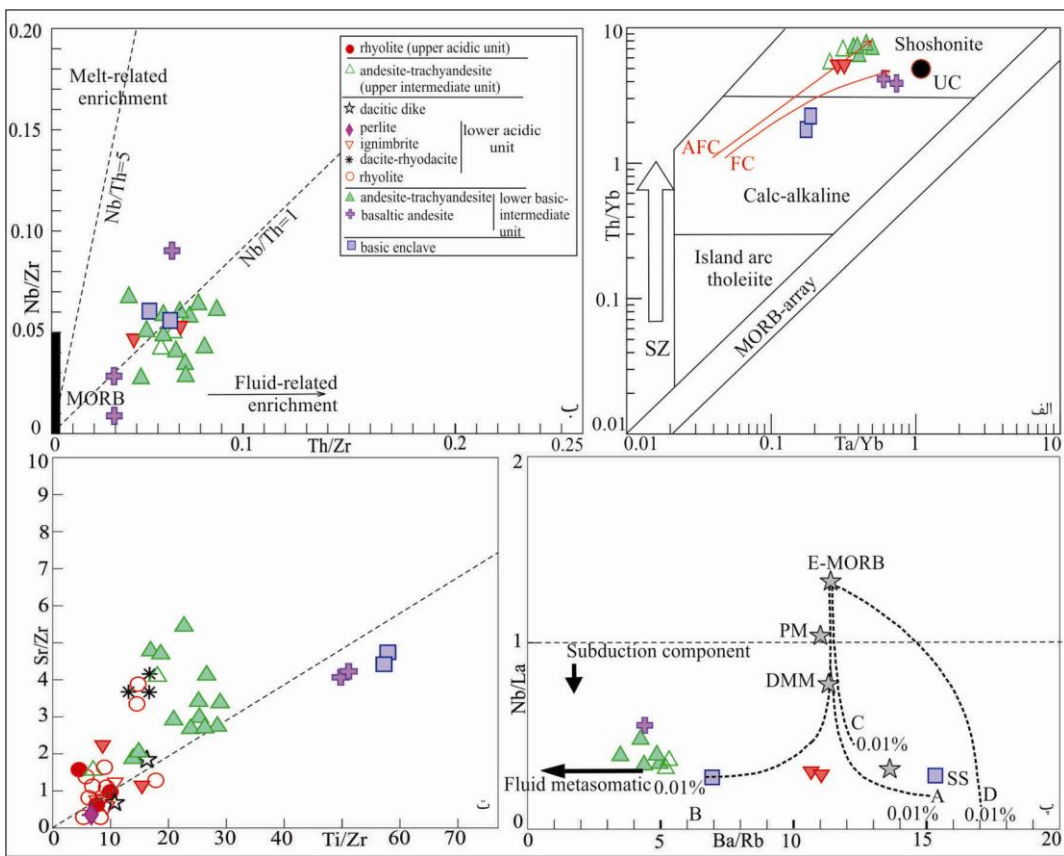
بررسی شده نقش داشته باشد. با توجه به شکل ۱۱ آ [۶۷] و بالا بودن مقدار Th/Yb نسبت به Ta/Yb در گدازه‌های بازیک-حدواسط بررسی شده می‌توان به نقش مؤلفه‌های فورانشی (سیالات و مذاب) و تأثیر آن بر گوشته لیتوسферی زیر قاره (SCLM); [۷۲] و یا آلایش پوسته‌ای [۷۲] اشاره کرد که شواهد زمین‌شناسی و پتروگرافی آن‌ها توصیف شدند.

در شکل ۱۱ ب [۷۳]، گدازه‌های بازیک-حدواسط بررسی شده اغلب در مجاورت خط  $Nb/Th=1$  قرار می‌گیرند که نشان می‌دهد که تأثیر سیالات و مذاب‌های فورانشی روی گوشته لیتوسферی زیر قاره و تشکیل سنگ‌های آتشفسانی تقریباً یکسان بوده است. در شکل ۱۱ پ [۷۴]، نیز گدازه‌های بازیک-حدواسط با مقادیر  $Nb/La < 1$  نقش قابل توجه مؤلفه‌های فورانشی و تأثیر آن بر گوشته لیتوسферی زیر قاره را نشان می‌دهند. نمونه‌های طبق این نمودار از ذوب‌خشی گوشته لیتوسферی زیر قاره شکل گرفته‌اند که با توجه به این که در راستای درجات پایین ذوب‌بخشی منحنی  $B$  هستند دارای ترکیب اولیه گارنت-آمفیبیول لرزولیت است که پیش از ذوب‌بخشی و ایجاد ماقمای گدازه‌های بازیک-حدواسط توسط سیالات رها شده از ورقه فرورو غنی شده‌اند.

شواهد صحرابی و مشاهدات پتروگرافی نشان از اختلاط ماقمایی در تشکیل سنگ‌های آتشفسانی بخصوص گدازه‌های حدواسط را دارند و تفسیر نمودارهای ژئوشیمیایی و نسبت‌های عنصر نیز آن را تائید می‌نمایند. به طور مثال نسبت  $Nb/Ta > 1$  [۶۸] از علائم ژئوشیمیایی آلایش پوسته‌ای است. این نسبت‌ها برای نمونه‌های بازیک-حدواسط بررسی شده (۱۴/۶۷-۱۸/۵) هستند که با آلایش پوسته‌ای ماقماهای منشأ گرفته از گوشته مطابقت دارند. شکل ۱۱-ت، بر پایه نسبت  $Ti/Zr$  به  $Sr/Zr$  طراحی شده است. خط چین میانه نمودار نیز خط اختلاط ماقماهای بازیک و اسیدی را نشان می‌دهد [۵۲]. تعداد قابل توجهی از نمونه‌های بررسی شده در راستای خط میانی نسبت‌های  $Ti/Zr$  به  $Sr/Zr$  ترسیم شده‌اند که نشان دهنده اختلاط ماقمای حاصل از ذوب‌بخشی گوشته و ماقمای حاصل از ذوب‌بخشی پوسته است [۵۲].



شکل ۱۰. موقعیت گدازه‌های آتشفسانی اوسن باخته سه چنگی در نمودارهای تکتونوماقمایی، آ) موقعیت نمونه‌های بازیک-حدواسط روی نمودار پیشنهادی [۶۶]، ب) نمودار نسبت  $Ba/Nb$  به  $La/Nb$  به نقل از [۶۹] و سپس [۷۰]



شکل ۱۱. آ) نمودارهای ژئوشیمیایی برای تعیین منشأ سنگ‌های بررسی شده را نشان می‌دهد. آ) از [۶۷]، ب) از [۷۳]، پ) از [۷۴] است. ترکیب گوشته اولیه (PM) و E-MORB از [۵۳] است و میانگین ترکیب گوشته تهی شده (DMM) و رسوبات فروراشی (SS) به ترتیب از [۷۵] و [۷۶] است. ، C، B و D به ترتیب نشان دهنده ترکیب گارنت لوزولیت [۷۷]، گارنت-آمفیبول لوزولیت [۷۸]، گارنت-آمفیبول-فلوگوپیت لوزولیت [۷۸] و فلوگوپیت-گارنت هارزبورزیت [۷۴] هستند. ت) از [۵۲]، که نشان دهنده نقش آمیختگی ماقمای حاصل از ذوب‌بخشی گوشته و ماقمای حاصل از ذوب‌بخشی پوسته‌ای در تشکیل سنگ‌های بررسی شده است.

موقعیت ژئودینامیکی ولکانیسم اوسن در باختر سه چنگی: محدوده بررسی شده در استان خراسان جنوبی، باختر سه‌چنگی، در بلوک لوت [۱] واقع است. چنان‌گه در مقدمه نوشته شد، این ناحیه مابین دو گسل با امتداد شمالی-جنوبی به نام‌های گسل نه‌بندان در خاور و گسل نای‌بندان در باختر بلوک لوت واقع است. در مدل‌هایی که به تحولات ژئودینامیکی خاور ایران پرداخته‌اند، به فعالیت‌های آتشفشاری سنوزوئیک در بلوک لوت نیز اشاره شده است. در مدل ژئودینامیکی کمپ و گریفیس [۱۱]، بازشدگی نئوتیس، فروزانش آن، برخورد قاره‌ای و فعالیت‌های ماقمایی پس از برخورد در همبری بین بلوک‌های لوت و افغان مورد توجه بوده است. به باور آنان سنگ‌های آتشفشاری این ناحیه از نظر پتروگرافی و ژئوشیمیایی با سنگ‌های آتشفشاری ارومیه-دختر و البرز متفاوتند. تیروول و همکاران [۱۲]، زون جوش‌خورده سیستان در خاور ایران را جز کمربند کوهزایی و برخوردی آلپ-هیمالیا طی دوره زمانی کرتاسه-ترشیری دانستند. به باور ساکانی و همکاران [۲۵]، مجموعه افیولیتی نه‌بندان واقع در زون جوش‌خورده سیستان، مرز بین بلوک‌های قاره‌ای لوت و افغان هستند. در مدل آن‌ها، این پوسته اقیانوسی با شیب رو به خاور به زیر بلوک افغان طی کرتاسه-الیگوسن فرو رانده شده است. به نظر کریمپور و همکاران [۲]، فعالیت‌های آتشفشاری ترشیری در بلوک

لوت در بازه زمانی پالئوسن پایانی آغاز شد. سپس طی دوره ائوسن میانی-الیگوسن آغازین توده‌های آذرین با ویژگی‌های ژئوشیمیایی مشابه با مناطق فرورانش در بلوك لوت بروند یافتند. در مدل ژئودینامیکی پیشنهادی زرین-کوب و همکاران [۲۶]، اقیانوس سیستان در کرتاسه آغازین-میانی باز و سپس به زیر بلوك لوت فرورانش کرد. پس از برخورد در ائوسن میانی-الیگوسن پایانی، لیتوسفر شکسته شده و در اثر جریان‌های آستنوسفری، ولکانیسم با منشاء گوشه‌ای وقوع یافته است. طبق نظر پانگ و همکاران [۱۷]، سنگ‌های ماغمایی ائوسن-الیگوسن در بلوك لوت دارای منشاء گوشه‌ای بوده‌اند که با مواد پوسته قاره‌ای فوقانی آلایش یافته‌اند.

رخمنون بقایای نئوتیس با سن کرتاسه میانی-بالایی در خاور و جنوب بلوك لوت نشان می‌دهد که ماغماتیسم ائوسن در منطقه بررسی شده پس از بسته شدن نئوتیس وقوع یافته است. بر اساس نتایج تجزیه‌های شیمیایی، گدازه‌های بررسی شده دارای روندهای ماغمایی شوشنیتی، کالک‌آلکالن و کالک‌آلکالن پتاسیم بالا هستند. با توجه به پژوهش‌های پتروگرافی و بررسی نمودارهای هارکر، فرآیند تفربیق ماغمایی در تحولات ماغمایی گدازه‌های بازیک-حدواست دخالت داشته‌اند اما نقش آلودگی‌های پوسته‌ای و تأثیر مؤلفه‌های فرورانش بر منشاء گوشه‌ای را نیز نمی‌توان نادیده گرفت. به‌نظر می‌رسد که در تکوین سنگ‌های اسیدی نیز ذوب‌بخشی پوسته دخالت داشته است. چنان‌که در بخش‌های بالا نوشته شد، روند ماغمایی شوشنیتی در گدازه‌های بررسی شده روندی غالب است. با توجه به گستردگی گدازه‌های اسیدی در محدوده بررسی شده و گستردگی بیشتر آن‌ها نسبت به گدازه‌های بازیک-حدواست، مشکل بتوان روند شوشنیتی آن‌ها را تنها به ماغمای برآمده از گوشه‌های عمیق نسبت داد. تفسیر تجزیه‌های شیمیایی در این مقاله نشان می‌دهد که گدازه‌های بازیک-حدواست از ذوب‌بخشی گوشه‌های لیتوسفری زیر قاره حاصل شده‌اند که قبل از پیوسله مؤلفه‌های فرورانشی (شامل سیالات و مذاب) رها شده از صفحه اقیانوسی فرو رو غنی شده‌اند. هم‌پوشانی ژئوشیمیایی مؤلفه‌های فرورانش و آغشتگی‌های پوسته‌ای سبب می‌شود تا نتوان در پژوهش‌های پترولوزی این دو پدیده را از یکدیگر تفکیک کرد. چنان‌که در بالا نوشته شد، پیشینه تحقیقاتی در این مقاله نشان می‌دهد که افیولیت‌ها در زون جوش‌خورده خاور ایران و جنوب مکران سن کرتاسه میانی-زیادی را دارند. بنابراین با توجه به ویژگی‌های شوشنیتی غالب در سنگ‌های بررسی شده، می‌توان انتظار داشت که ولکانیسم ائوسن در باخته سه‌چنگی بعد از بسته شدن پوسته اقیانوسی و در یک محیط کششی مرتبط با برخورد قاره‌ای حاصل شده است.

ماهیت بیشتر شوشنیتی گدازه‌های بررسی شده این حدس را تقویت می‌کند که لیتوسفر قاره‌ای طی ائوسن در ناحیه بررسی شده به اندازه کافی ضخیم بوده است. الگوهای بهنجار شده از عناصر فرعی و نادر گدازه‌های اسیدی نیز انطباق چشم‌گیری با الگوهای پوسته بالایی و پوسته میانی دارند. بنابراین می‌توان انتظار داشت که پیش از برخورد قاره‌ای و در جریان فرورانش پوسته اقیانوسی، بخش‌هایی از پی سنگ قاره‌ای کنده شده و همراه با بخش‌های بالایی پوسته اقیانوسی فرورو به زیر کشیده شده‌اند. احتمال دارد که این پدیده خود موجب ضخیم شدن لیتوسفر طی ائوسن بوده و ذوب‌بخشی اجزاء قاره‌ای به زیر کشیده شده در تشکیل گدازه‌های اسیدی نقش داشته است. این فرآیندها به احتمال پسامد بالا آمدن آستنوسفر و بدنبال شکستگی اسلب، رول بک و یا قطعه‌شدگی گوشه‌های لیتوسفری زیر قاره‌ای بوده است.

### نتیجه‌گیری

سنگ‌های آتشفشاری اوسن که در باختر سه چنگی در باختر بلوک لوت رخنمون دارند شامل فراورده‌های آتشفشاری بازیک-حدواسط و اسیدی هستند که به صورتی متناوب بیرون ریخته شده‌اند. سنگ‌های آتشفشاری بررسی شده دارای ترکیب بازالت، آندزیت-تراکی آندزیت، تراکی‌داسیت، داسیت و ریولیت-ایگنمبریت هستند. شواهد آمیختگی ماقمایی در سنگ‌های حدواسط و اسیدی دیده شده است. گدازه‌های اتشفشاری بررسی شده دارای روندهای ماقمایی کالک الکالن، کالکالن پتابسیم بالا و شوشوئیتی هستند. بررسی نمودارهای دوتایی نشان می‌دهد که تبلوربخشی در تحولات ماقمایی گدازه‌های بازیک-حدواسط گوشته لیتوسفری زیر قاره بوده است که پیش از ژئوشیمیایی حاکی از آن است که منشأ گدازه‌های بازیک-حدواسط گوشته لیتوسفری زیر قاره بوده است. بررسی نمودارهای ذوب‌بخشی به‌وسیله ترکیبات فرورانش (سیالات و مذاب رها شده از صفحه اقیانوسی فرورو) غنی شده است. ماقمای حاصل از ذوب‌بخشی گوشته لیتوسفری زیر قاره سبب ذوب‌بخشی مواد پوسته‌ای و ایجاد ماقمای اسیدی شده و با آن آمیخته شده است. به‌نظر می‌رسد که سنگ‌های آتشفشاری اوسن باختر سه چنگی، پس از بسته شدن نثوتیس و ضخیم شدن لیتوسفر قاره‌ای در بلوک لوت، در یک محیط بازشدگی مربوط به برخورد تشکیل شده‌اند.

### تشکر و قدردانی

از مسئولین محترم پژوهشکده علوم زمین و همکاران سازمان زمین‌شناسی کشور مخصوصاً آقایان دکتر محمد فریدی از مرکز تبریز و مهندس مهدی مرادی از مرکز ستننج در انجام این تحقیق تشکر می‌شود. آقای دکتر محمدرضا قاسمی چکیده انگلیسی را تصحیح و نکات ارزشمندی در مورد بعضی ساختارها ارائه کردند که از ایشان نیز صمیمانه قدردانی می‌شود.

### منابع

1. Stöcklin J., "Structural history and tectonics of Iran: a review" American Association of Petroleum Geologists, (1968) 1229-1258.
2. Karimpour M. H., Stern C. R., Farmer L., Saadat S., Malekezadeh A., "Review of age, Rb-Sr geochemistry and petrogenesis of Jurassic to Quaternary igneous rocks in Lut Block, eastern Iran", JGeope, 1 (1) (2011) 19-36.
3. Stocklin J., Nabavi M. H., "Tectonic map of Iran", Geological Survey of Iran, (1973).
4. Tarkian M., Lotfi M., Baumann A., "Tectonic, magmatism and the formation of mineral deposits in the central Lut, east Iran", Ministry of mines and metals, GSI, geodynamic project (geotraverse) in Iran, No. 51 (1983) 357-383.
5. Stöcklin J., "Possible ancient continental margins in Iran. The Geology of Continental Margins", Springer-Verlag, Berlin, (1974) 873-887.
6. Berberian M. & King G.C.P., "Towards a paleogeography and tectonic evolution of Iran" Canadian, Journal of Earth Sciences, 18 (1981) 210-265.

7. Sengor A. M. C., "Mid-Mesozoic closure of Permo-Triassic Tethys and its implication: Nature", 279 (1979) 590-593.
8. Stampfli G. M., "Tectonics and magmatism in Turkey and surrounding area", Geologica Society Special Publication, 173 (2000) 1-23.
9. Wilmsen M., Fürsich F. T., Seyed-Emami K., Majidifard M.R., Taheri J., "The Cimmerian Orogeny in northern Iran: tectono-stratigraphic evidence from the foreland", Terra Nova, 21 (2009) 211-218.
10. Zanchi A., Zanchetta S., Berra F., Mattei M., Garzanti E., Molyneux S., Nawab A., Sabouri J., "The Eo-Cimmerian (Late? Triassic) orogeny in North Iran", Geological Society Special Publications, 312 (2009) 31-55.
11. Camp V. E., Griffis R. J., "Character, genesis and tectonic setting of igneous rocks in the Sistan suture zone, Eastern Iran", Lithos, 15 (1982) 221-239.
12. Tirul R., Bell I. R., Griffis R. J., Camp V. E., "The Sistan suture zone of Eastern Iran", Geological society of America Bulletin, 944 (1983) 134-150.
13. Zarrinkoub M. H., Chung S.L., Chiu H.Y., Mohammadi S.S., Khatib M., Lin I.J., "Zircon U-Pb age and geochemical constraints from the northern Sistan suture zone on the Neotethyan magmatic and tectonic evolution in eastern Iran" Abstract to GSA Conference on "Tectonic Crossroads: Evolving Orogens in Eurasia–Africa–Arabia", Oct, 4-8 (Ankara, Turkey) (2010).
14. Khalatbari Jafari M., Babaie H. A., Moslempour M. E., "Mid-ocean-ridge to suprasubduction geochemical transition in the hypabyssal and extrusive sequences of major Upper Cretaceous ophiolites of Iran", Geological Society of America Bulletin, Special paper 525 (2016) doi:10.1130/2016.2525(07).
۱۵. مهرابی بهزاد، طالع فاضل ابراهیم، قاسمی سیانی مجید، "مطالعات ژئوشیمیایی و فلززایی توده گرانیتوئیدی سرخکوه (مجموعه آتشفشنی-نفوذی خاور ایران)"، فصلنامه زمین‌شناسی ایران، سال پنجم، شماره بیستم، ۱۳۹۰ (۴۵-۲۹).
16. Esmaeily D., Nedelec A., Valizadeh M.V., Moore F., Cotton J., " Petrology of the Jurassic Shah-Kuh granite (eastern Iran)", with reference to tin mineralization. Journal of Asian Earth Sciences, 25 (2005) 961-980.
17. Pang k. N., Chung S. L., Zarrinkoub M. H., Khatib M. M., Mohammadi S. S., Chiu H. Y., Chu C. H., Lee H. Y., Lo C. H., "Eocene-Oligocene post-collisional magmatism in the lut-sistan region,eastern Iran: magma genesis and tectonic implication", lithos, (2013) <http://dx.doi.org/10.1016/j.lithos.2013.05.009>.

۱۸. سپیدبر فاطمه، "پترولوزی و ژئوشیمی سنگ‌های آدرین شرق سنگان و بررسی احتمال ارتباط آن با کانه زایی آهن"، پایان‌نامه دکتری، دانشکده زمین‌شناسی، پردیس علوم-دانشگاه تهران (۱۳۹۶).
19. Arjmandzade R., Karimpour M. H., Mazaheri S. A., Santon J. F., Medina J. M., Homam S. M., "Sr-Nd isotope geochemistry and petrogenesis of the Chah-Shaljami granitoids (Lut block, eastern Iran)", *Journal of Asian Earth Sciences*, 41 (2011) 283-296.
20. Walker R. T., Gans P., Allen M.B., Jackson J., Khatib M., Marsh N., Zarrinkoub M., " Late Cenozoic volcanism and rates of active faulting in eastern Iran", *Geophys. J. Int*, 177 (2009) 783- 805.
۲۱. خلعتبری جعفری مرتضی، "نقشه زمین‌شناسی با مقیاس ۱:۱۰۰،۰۰۰ رباط خوشاب"، سازمان زمین‌شناسی و اکتشافات معدنی کشور (۱۳۸۰)
22. Kluyver H. M., Tirrul R., Chance P. N., Johns., Meixner H. M., "Explanatory text of the Naybandan quadrangle map 1:250,000", (1981) 143.
۲۳. فریدی محمد، "نقشه ۱:۱۰۰،۰۰۰ زنوغان" سازمان زمین‌شناسی و اکتشافات معدنی کشور، نقشه شماره ۷۵۵۵ (۱۳۸۴).
24. Fotoohi Rad G. R., Droop G. T. R., Amini S., Moazzen M., "Eclogites and blueschists of the Sistan Suture Zone, eastern Iran: A comparison of P-T histories from a subduction model", *Lithos*, 84 (2005) 1-24.
25. Saccani E., Delavari M., Beccaluva L., Amini S., "Petrological and geochemical constraints on the origin of the Nehbandan ophiolitic complex (eastern Iran): implication for the evolution of the Sistan Ocean", *Lithos*, 117 (2010) 209-228.
26. Zarrinkoub M. H., Pang K. N., Chung S. L., Khatib M. M., Mohammadi S. S., Chiu H. Y., Lee H. Y., "Zircon U\|Pb age and geochemical constraints on the origin of the Birjand ophiolite, Sistan suture zone, eastern Iran", *Lithos*, 154 (2012) 392-405.
27. Miri Beydokhti R., Karimpour M. H., Mazaheri S. A., Santos J. F., Klotzli U., "U-Pb zircon geochronology, Sr-Nd geochemistry, petrogenesis and tectonic setting of Mahoor granitoid rocks", (Lut block, eastern Iran), *Lithos*, (2015).
28. Jentzer M., Fournier M., Agard P., Omrani J., Khatib M.M., Whitechurch H., "Neogene to Present paleostress field in Eastern Iran (Sistan belt) and implications for regional geodynamics", *Tectonics*, 36 (2017) doi:10.1002/2016TC004275.
29. Stöcklin J., Nabavi M. H., " Explanatory text of the Boshruyeh Quadrangle map, scale 1:250,000", Geological Survey of Iran, (1971).
30. Azimi M. A. & Saidy A., "Geological map of Seh Changi, Scale 1:100,000", Geological Survey of Iran, (1975).

31. Stöcklin J., Eftekhar-nezhad J., Hushmandzadeh A., "Central Lut reconnaissance" Geological Survey of Iran, Report 22 (1971) 68.
32. Kuscu G. G., Floyd P. A., "Mineral compositional and textural evidence for magma mingling in the Saraykent volcanic", *Lithos*, 56 (2000) 207-230.
33. Sumner J. M., Wolff J., "Petrogenesis of mixed-magma, high-grade, peralkaline ignimbrite 'TL' (Gran Canaria): diverse styles of mixing in a replenished, zoned magma chamber", *Journal of Volcanology and Geothermal Research*, 126 (2003) 109-126.
34. Winter J. D., "Principles of igneous and metamorphic petrology", Second edition, Pearson Education Limited, (2014) 737.
35. Plechov, P. Y., Tsai, A. E., Shcherbakov, V. D. and Dirksen, O. V. (2008) Opacitization conditions of hornblende in Bezymyannyi volcano andesites (March 30, 1956 eruption). *Petrology*, 16 (1) 19-35.
36. Tepley, F. J., Davidson, J. P., Clyne, M. A. (1999) Magmatic Interactions as Recorded in plagioclase Phenocrysts of Chaos Crags, Lassen Volcanic Center, California. *Journal of Petrology*, 40(5): 787-806.
37. Dogan A. U., Dogan M., Peate D. W., Dogruel Z., "Textural and mineralogical diversity of compositionally homogeneous dacites from the summit of Mt. Erciyes, Central Anatolia, Turkey" *Lithos*, 127 (2011) 387-400.
38. Temizel I., Arslan M., "Petrology and geochemistry of Tertiary volcanic rocks from the İkizce (Ordu) area, NE Turkey: Implications for the evolution of the eastern Pontide paleo-magmatic arc", *Journal of Asian Earth Sciences*, 31 (2008) 439-463.
39. Keskin M., Genç S. C., Tüysüz O., "Petrology and geochemistry of post-collisional Middle Eocene volcanic units in North-Central Turkey: Evidence for magma generation by slab breakoff following the closure of the Northern Neotethys Ocean", *Lithos*, 104 (2008) 267-305.
40. Gao J. F., Zhou M. F., Robinson P. T., Wang C. Y., Zhao J. H., Malpas J., "Magma mixin recorded by Sr-isotopes of plagioclase from dacites of the Quaternary Tengchong volcanic field, SE Tibetan Plateau", *Journal of Asian Earth Sciences*, 98 (2014) 1-17.
41. Shelly D., "Igneous and metamorphic rocks under the microscope, Classification textures, microstructures and mineral preferred-orientations", Chapman & Hall, (1993) 445.
42. Mbowou G. I. B., Botelho N. F., Lagmet C. A., Ngounouno I., "Petrology of peraluminous and peralkaline rhyolites from the SE Lake Chad (northernmost Cameroon Line)", *Journal of African Earth Sciences*, (2015) DOI: 10.1016/j.jafrearsci.2015.09.015.

43. Bull K. F., McPhie J., "Fiamme textures in volcanic successions: Flaming issues of definition and interpretation", *Journal of volcanology and geothermal research*, 164 (2007) 205-216.
44. Deering C. D., Bachmann O., Dufek J., Gravley D. M., "Rift-related transition from andesite to rhyolite volcanism in the Taupo volcanic zone (New Zealand) controlled by crystal melt dynamics in mush zones with variable mineral assemblages", *Journal of petrology*, 52 (2011) 2243-2263.
45. Nelson S. T., Montana A., "Sieve-textured plagioclase in volcanic rocks produced by rapid decompression", *American Mineralogist*, 77 (1992) 1242-1249.
46. Le Bas M. J., Le Maitre R. W., Strecheisen A. & Zanettin B., "A chemical of volcanic rocks classification based on the total alkali-silica diagram", *Journal of petrology*, 27 (3) (1986) 745-750.
47. Beccaluva L., Di Girolamo P. & Serri G., "Petrogenesis and tectonic setting of the Roman Volcanic Province, Italy", *Lithos*, 26 (1991) 191-221.
48. Irvine T. N. & Baragar, W. R. A., "A guide to chemical classification of the common volcanic rocks", *Canadian Journal of Earth Sciences*, 8 (1971) 523-548.
49. Beccaluva L., Bianchini G., Mameli P. & Natali C., "Miocene shoshonite volcanism in Sardinia: Implications for magma sources and geodynamic evolution of the central-western Mediterranean", *Lithos*, 03055 (2013) No of pages 10.
50. Ersoy Y., Helvacı C., Sözbilir H., Erkül F., Bozkurt E., "A geochemical approach to Neogene–Quaternary volcanic activity of western Anatolia: An example of episodic bimodal volcanism within the Selendi Basin, Turkey", *Chemical Geology*, 255 (2008) 265-282.
51. Çoban H., Karacık Z., Ece Ö.I., "Source contamination and tectonomagmatic signals of overlapping Early to Middle Miocene orogenic magmas associated with shallow continental subduction and asthenospheric mantle flows in Western Anatolia: A record from Simav (Kütahya) region", *Lithos*, 140-141(2012) 119-141.
52. Kaygusuz A., Öztürk M., "Geochronology, geochemistry, and petrogenesis of the Eocene Bayburt intrusions, Eastern Pontides, NE Turkey: evidence for lithospheric mantle and lower crustal sources in the high-K calc-alkaline magmatism", *Journal of Asian Earth Sciences* (2015) <http://dx.doi.org/10.1016/j.jseaes.2015.04.017>.
53. Sun S. S., McDonough W. F., "Chemical and isotopic systematic of oceanic basalts: implications for mantle composition and processes", In: Saunders, A. D., Norry, M. J. (Eds.),

- Magmatism in the Ocean Basins. Geological Society of London, Special Publication 42 (1989) 313-345.
54. Varol E., Temel A., Yürür T., Gourgaud A., Bellon H., "Petrogenesis of the Neogene bimodal magmatism of the Galatean Volcanic Province, Central Anatolia, Turkey", Journal of Volcanology and Geothermal Research, 280 (2014) 14-29.
55. Ersoy Y., Helvacı C., Uysal İ., Karaoğlu Ö., Palmer M., Dindi F., "Petrogenesis of the Miocene volcanism along the İzmir-Balıkesir Transfer Zone in western Anatolia, Turkey: Implications for origin and evolution of potassic volcanism in post-collisional areas", Journal of Volcanology and Geothermal Research, 241-242 (2012) 21-38.
56. Qian X., Feng Q., Yang W., Wang Y., Chonglakmani C., Monjai D., "Arc-like volcanic rocks in NW Laos: Geochronological and geochemical constraints and their tectonic implications", Journal of Asian Earth Sciences, 98 (2015) 342-357.
57. Li H., Ling M. X., Ding X., Zhang H., Li C.Y., Liu D. Y., Sun W. D., "The geochemical characteristics of Haiyang A-type granite complex in Shandong, eastern China", Lithos, 200-201 (2014) 142-156.
58. Gill R., "Igneous rocks and processes, a practical guide", A John Wiley & Sons Publication, (2010) 428.
59. Pearce J. A., "Role of the sub-continental lithosphere in magma geneses at active continental margin", In: Hawkesworth, C. J., Norry, M. J. (Eds.), Continental Basalts and Mantle Xenoliths, (1983) 230-249.
60. Pearce J. A., Harris N. B. W. & Tindle A. G., "Trace element discrimination diagrams for the tectonic interpretation of Granitic Rocks", Journal of Petrology, 25 (4) (1984) 956-983.
61. Pearce J. A., Peate D. W., "Tectonic implications of the composition of volcanic arc magmas", Annu Rev Earth Planet Sci, 23 (1995) 251-285.
62. Munker C., Worner G., Yogodzinski G., Churikova T., "Behaviour of high field strength elements in subduction zones: constraints from Kamchatka-Aleutian arc lavas", Earth Planet Sci Lett, 224 (2004) 275-293.
63. Hawkesworth C. J., Turner S. P., McDermott F., Peate D. W., Van Calsteren P., "U-Th isotopes in arc magmas: implications for element transfer from the subducted crust", Sciences, 276 (1997) 551-555.
64. Liu H. Q., Xu Y. G., Tian W., Zhong Y. T., Mundil R., Li X.H., Luo Z.Y. & Shang-Guan S.M., "Origin of two types of rhyolites in the Tarim Large Igneous Province: Cosequences of incubation and melting of amantie piume", Lithos, 03196 (2014) 14.

65. Ding H., Zhang Z., Dong X., Yan R., Lin Y. & Jiang H., "Cambrian ultrapotassic rhyolites from the Lhasa terrane, south Tibet: Evidence for Andean-type magmatism along the northern active margin of Gondwana", *Gondwanna Research*, 01218 (2014) 14, doi:10.1016/j.gr.2014.02.003.
66. Wood D.A., "The application of a Th–Hf/Ta diagram to problems of tectonomagmatic classification and to establishing the nature of crustal contamination of basaltic lavas of the British Tertiary volcanic province", *Earth and Planetary Science Letters*, 50 (1980) 11-30.
67. Pearce J.A., Bender J.F., De Long S.E., Kidd W.S.F., Low P.J., Güner Y., Saroglu F., Yılmaz Y., Moorbat S. & Mitchell J.G., "Genesis of collision volcanism in Eastern Anatolia, Turkey", *Journal of Volcanology and Geothermal Research*, 44 (1990) 189-229.
68. Koralay T., Kadioglu Y. K. & Davis P., "Weak compositional zonation in a silicic magmatic system: Incesu ignimbrite, Central Anatolian Volcanic Province (Kayseri-Turkey)", *Journal of Asian Earth Sciences*, 40 (2011) 371-393.
69. Jahn B. M., Wu F.Y., Lo C.H., Tsai C.H., "Crust–mantle interaction induced by deep subduction of the continental crust: geochemical and Sr–Nd isotopic evidence from post-collisional mafic[ ultramafic intrusions of the northern Dabie complex, central China]", *Chemical Geology*, 157 (1999) 119-146.
70. Aydınçakır E., Şen C., "Petrogenesis of the post-collisional volcanic rocks from the Borçka(Artvin) area: Implications for the evolution of the Eocene magmatism in the Eastern Pontides (NE Turkey)", *Lithos*, 172-173 (2013) 98-117.
71. Fitton J. G., James D., Kempton P. D., Ormerod D. S., Leeman W. P., "The role of lithospheric mantle in the generation of late Cenozoic basic magmas in the Western United States", *J. Petrol. Spec. Issue* (1988) 331-349.
72. Aldanmaz E., Pearce J. A., Thirlwall M. F., Mitchell J. G., "Petrogenetic evolution of late Cenozoic, post-collision volcanism in western Anatolia, Turkey", *Journal of Volcanology and Geothermal Research*, 102 (2000) 67-95.
73. Kepezhinskas P., McDermott F., Defant M., Hochstaedter A., Drummond M.S., Hawdesworth C. J., Koloskov A., Maury R. C., Bellon H., "Trace element and Sr–Nd–Pb isotopic constraints on a three- component model of Kamchatka Arc petrogenesis", *Geochim Cosmochim Acta*, 61 (1997) 577-600.
74. Wang K. L., Chung S. L., O'Reilly S. Y., Sun S. S., Shinjo R., Chen C. H., "Geochemical constraints for the genesis of post-collisional magmatism and the geodynamic evolution of the Northern Taiwan Region", *Journal of Petrology*, 45 (2004) 975-1011.

75. Workman R. K., Hart S. R., "Major and trace element composition of the depleted MORB mantle (DMM)", *Earth and Planetary Science Letters*, 231 (1-2) (2005) 53-72.
76. Plank T., Langmuir C.H., "The chemical composition of subducting sediment and its consequences for the crust and mantle", *Chemical Geology*, 145 (3-4) (1998) 325-394.
77. Walter M.J., "Melting of garnet peridotite and the origin of komatiite and depleted lithosphere", *Journal of Petrology*, 39 (1998) 29-60.
78. Barry T. L., Saunders A. D., Kempton P. D., Windley B. F., Pringle M. S., Dorjnamjaa, D., Saandar S., "Petrogenesis of Cenozoic basalts from Mongolia: evidence for the role of asthenospheric versus metasomatized lithospheric mantle sources", *Journal of Petrology* 44 (1) (2003) 55-91.